

# FILTRI E RETI NON LINEARI

17/11/08

Il materiale sta su:

www.delen.polito.it/staff/bieg

Cosa si fa? Pagina web stampata!

Il titolo del corso mostra che ci sono DUE corsi diversi in uno.

Filtri: impariamo a progettare dispositivi: filtri elettrici. Ordine di "separa" parti di segnali da altri. Si "separano" le frequenze dello spettro di un segnale. Ci occupiamo di filtri LC: i primi filtri realizzati (e ancora usati), e le attuali (usando amplificatori operazionali, resistori e condensatori); gli insiliceti infatti sui filtri passa verso la loro struttura che sono matrice che riducono spazio attivo ed un fenomeno. Però l'induttore è un "erbo", quindi si tende a volerli eliminare.

La parte di filtri dura 3 settimane e nonna arca.

Reti non lineari: vedremo reti di vario tipo! Pensiamo insiliceti non lineari.

Dovremo sul circuito di chia, questo che pensate tutte le cose che stanno accadendo nei non lineari.

Hemistor: prescelto da Chua nel '70, e poi costituito nel maggio scorso!

Il non-lineare è bello! Dopo ci proverà!

Teste: circuiti RC-attivi

Active and passive filter design, 1993

Strogatz sul non lineare (Nonlinear dynamics and chaos)

Esame: deve paura scatta, da verde sul non-lineare. Si arriva con un progetto, e si fa a coppia.

Vers: el t

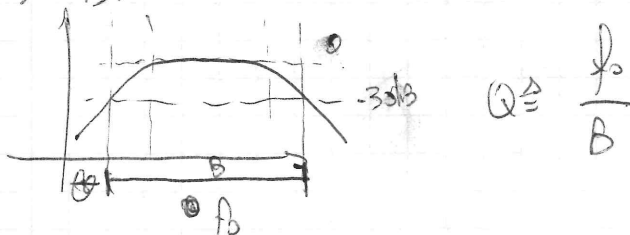
Pars: 2008

Soriano!

Diagramma del campo di applicazione: alcune strutture sono preferibili ed altre, in termini di frequenza.

Un filtro deve avere ancora di uscita una certa banda di frequenza rispetto alle altre. Un filtro può lavorare di tipo, su c'è, altro!

Si definisce il Q del filtro (cone vedere negli) nel grafico come il rapporto tra il fattore di guadagno e la banda 3 dB.



Da cui è un rapporto Q-frequenze, e a seconda delle frequenze si usano filtri di tipo diversi; i filtri con le curve più selettive e più stabili sono i filtri passivi!

tra tutte le bendature della figura, ci sono però alcuni punti in comune!

Cone si progetta? Diagramma

Si tratta di partire da un arco di giri si cerca, e si vuole migliorare! Vedi dei casi: si perde il centro di un concerto, e si andrà al concerto confrontando

il suo risultato con le specifiche da ri-ottenere (SACO). A questo punto si modifichino i parametri del circuito, fino a ottenere un confronto favorevole. I tentativi devono essere intelligenti! Date le specifiche, si cercano tutti le possibili pratiche e si tratta però la più idonea.

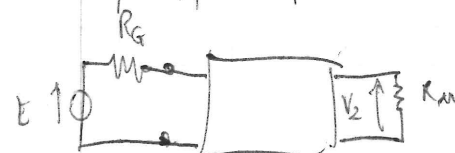
Altro modo di procedere: approssimazione e sintesi: si perdono le specifiche e si trasmettono in un certo numero di formule, il progettista traduce le specifiche in funzioni della frequenza, inizia poi la parte di sintesi: come è possibile, a partire dai criteri specifici <sup>vedere</sup> implementabili da fabbrica, trovare uno o più circuiti di funzionamento. Poi con la matrice come vedere ottengono tutte le soluzioni possibili, e noi dovranno scegliere quella che per noi è la migliore :)

Nel caso è possibile fare tutto ciò, con filtri è diverso così i filtri sono stati sviluppati negli anni 30: Bode, Brune,

li occupavano sostanzialmente del progetto di filtri passivi (l'arco è lineare) funzioni male nel progetto di filtri attivi.

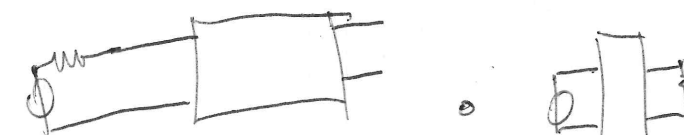
Consideriamo 2 casi:

1) Doppio segnale con generatore in ingresso e cono di uscita:

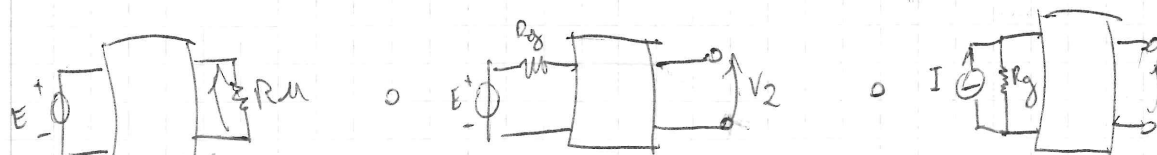


SISTEMA CARICATO DATI 147.

2) li sono situazioni in cui si ha un doppio segnale conato su un lato solo: o il generatore è ideale ( $R_G=0$ ), o l'uscita è a ruote o in arco attorno.



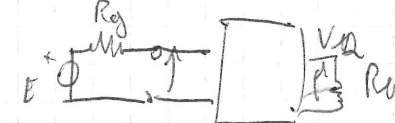
Di solito non si usa l'usata di collocamento: o si ha un generatore ideale di corrente d'ingresso in resistenza, o un generatore di tensione (che è un ideale con):



FUNZIONI USATE!

Si definisce il coefficiente di trasmissione del circuito:

$$t(s) \triangleq 2\sqrt{\frac{R_g}{R_u}} \cdot \frac{V_2(s)}{E(s)}$$



(Questo sarebbe il \$S\_{21}\$ dei parametri scattering)

C'è un significato energetico in questa definizione: solo se  $\omega = 0$ , si ha il coefficiente di transito del circuito a regime sinusoidale. Vediamo che:

$$P_d = \frac{|E|^2}{4R_g} \quad ; \quad P_2 = \frac{|V_2|^2}{R_u}$$

$$|t(j\omega)|^2 = \frac{4R_g}{R_u} \frac{|V_2|^2}{|E|^2} = \frac{P_2}{P_d}$$

Ora allora vedi di quel che capita nella potenza trasmessa!

A seconda di come si parla  $t(j\omega)$ , si può avere una certa potenza

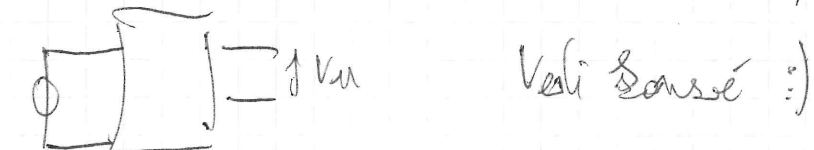
Sopra si usa  $d_f$  definito così:

$$d_f(\omega) \triangleq 20 \log \left| \frac{1}{t(j\omega)} \right|$$

di è detto "alluminazione trasoluta" ed è legato al coefficiente di trasmissione.

Vedendo che, a seconda di  $\omega$ , ci ha una certa potenza, in un altro per es. un altro (in un altro modo o, in un'altra f., o mai) - niente il prezzo.

Altra funzione: se il circuito non è causale né da un altro né dall'altro (caso nel caso di filtro RC attivo):



Come operano si può perdere

$$K_V(s) \triangleq \frac{V_2(s)}{V_1(s)} ; \quad \text{quindi di tensione}$$

$$\Delta V(\omega) \triangleq 20 \log \left| \frac{1}{K_V(j\omega)} \right| \quad (\text{alluminazione di tensione}).$$

Allora è dim:

$$\Delta_m = 20 \log \left| \frac{1}{d_f} \right|$$

In genere chiamiamo "funzione di retta"  $H(s)$  come ..

$$\Delta = 20 \log |H(s)|$$

Per vedere in cosa consiste la nostra introduzione in altro funzione: solo un doppio impiego delle due leggi, definendo il coefficiente di riflessione all'ingresso  $\rho$ :

$$\begin{array}{c} R_g \\ \parallel \\ Z(s) \\ \parallel \\ R_u \end{array} \quad \rho(s) \triangleq \frac{R_g - Z(s)}{R_g + Z(s)}$$

Ci interessa vedere cosa capita in regime sinusoidale! dato

$$Z = R + jX$$

$$|\rho(j\omega)|^2 = \frac{(R_g - R)^2 + X^2}{(R_g + R)^2 + X^2} \quad \text{Assumendo al muro} = 1 - \frac{URg}{(R_g + R)^2 + X^2}$$

$$P_d = R |t|^2 ; \quad = R \cdot \frac{|E|^2}{|R_g + Z|^2} \quad = \frac{R |E|^2}{(R_g + R)^2 + X^2}$$

Rappresento  $P_1$  su  $P_{max}$ , otengo perciò il tempo di passo!

$$\frac{P_1}{P_{max}} = \frac{(R_0 + j\omega)^2}{(R_0 + j\omega)^2 + j\gamma_2} \frac{4R R_0}{(R_0 + j\omega)^2 + j\gamma_2}$$

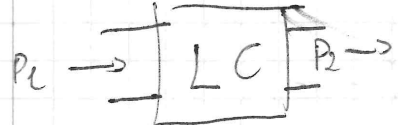
Quindi:

$$|S(j\omega)|^2 = 1 - \frac{P_1}{P_{max}} = \frac{P_{max} - P_1}{P_{max}} \triangleq \frac{P_R}{P_{max}}$$

$P_R$  è la potenza riflessa:  $P_{max} - P_1$ : della potenza disponibile una parte viene riflessa!

Il coefficiente di riflessione è il rapporto tra potenza riflessa e normale riflessa a causa del dissaldamento all'entrata!

Il doppio dipolo di solito viene realizzato come LC:  $V_{polt}^{ma}$



Vede quindi in questo caso la seguente:

$$|t(j\omega)|^2 + |s(j\omega)|^2 = 1 \quad (\text{solto in rete LC})$$

$$\text{Si può dimostrare che le condizioni sono:} \quad |t(j\omega)|^2 \leq 1 \\ |s(j\omega)|^2 \leq 1$$

Sono sufficienti e necessarie al fine di soddisfare il criterio: dato questi criteri è sempre possibile trovare un'impedenza  $Z$  tale per cui vale così. (Teorema di Darlington)

Filtri

Generalità

Un filtro è un doppio dipolo (di solito), che, quando realizzato in frequenza, risulta avere uno o più intervalli di frequenza

in cui l'ammortoramento è minimo: infatti ad un certo valore nonno presente; se poi avrà oscillazione mai non supera del valore fisso.

Il filtro deve avere uno o più di questi intervalli, chiamati "bande passanti".

Banda attenuata: dove l'ammortoramento non è superiore un certo livello.

L'intervalle di frequenza di passo dalla banda passante a quella di attenuazione sono le larghezze di banda.

Buona cosa è avere la fase lineare, o almeno di gruppo (denominata fase)  $\beta(\omega) = -\frac{d\phi}{d\omega}$

Per avere essere altre specifiche, su  $A$  e  $\beta$ , e via.

Dove essere anche le condizioni di corte del polo.

Moltiplicazione dei filtri! Con i coefficienti di attenuazione (andando di questo verso alla Somma)

20/11/08

Averemo visto i filtri più comuni, in particolare "bande passanti".

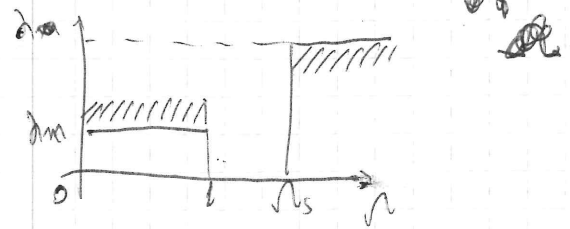
Per progettare tali filtri, si è pensato di prendere normali, con un certo numero di filtri,

Si può fare tutto partendo dal filtro "passa basso generalizzato".

Filtro passa basso generalizzato

Scelto in pratica un filtro: si studia la pulsazione con  $N$ ,

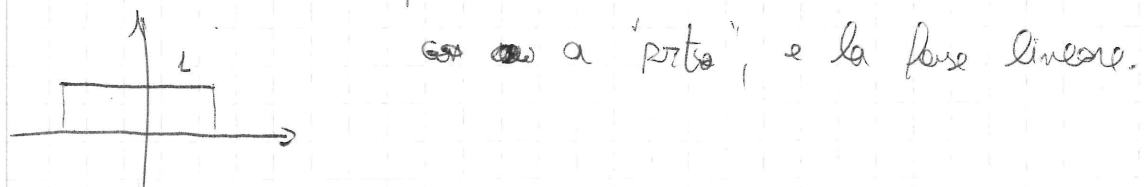
Questa:



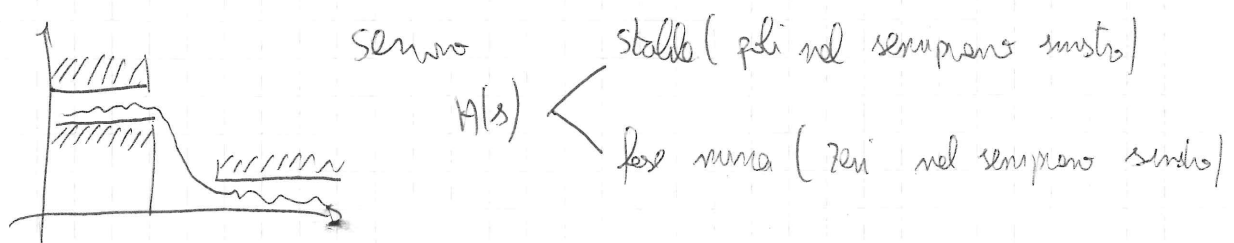
Vogliamo spostare questi mondi, e qui.

Come deve essere un passo basso monodromo? Deve avere la fase puramente

~~essere~~ a "puro", e la fase lineare.

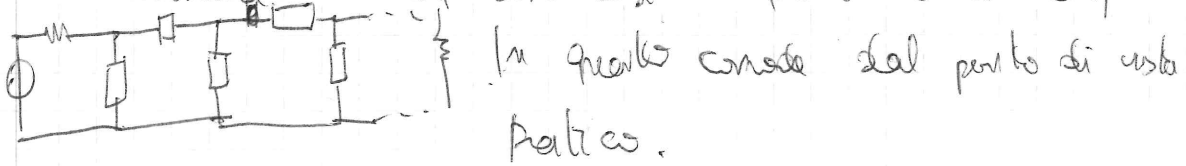


Un filtro del genere farebbe impotere ancora prima di esser scambiato (vedi: non è causale). Dovendo accettare il fatto che il modello sia dentro una certa fascia, e l'alteneremo al di sopra di una certa fascia, serve però l'ideale!



Io voglierei avere funzioni di questo tipo, non in verso di controllo di apprendere periodo e magnitudo. Bisogna trovare dei compromessi, in modo da ottenere una fase più lineare possibile.

Il problema pratico è il segnale: in genere veniamo dagli applicazioni con durezza A SCADA, ovvero così: (poli LC a sede)



In questo caso dal punto di vista pratico.

Le specifiche di messa a punto (tuning) si fanno su queste misure mettendo a punto facilmente, in volti a sede.

In una rete a sede LC non si riesce a produrre zeri di transitorio sul semipiano destro, perché gli zeri si ottengono quando l'impedenza di uno dei canali deve diventare infinito, e quella di uno dei canali paralleli diventa 0, e ciò non può esserai se non si considerano poli o degli zeri dei canali.

11 Un'impedenza LC ha zeri e poli tutti sull'asse jω

Esempio:

$$m\ddot{x} + \frac{1}{LC}x = \frac{s^2 LC + 1}{sC} \quad (\text{polo in } 0, \text{ zeri in } -\frac{1}{LC}, \text{ e } s^2)$$

Quindi non si posso fare zeri e poli sul semipiano di dx. Questo è una conferma!

A volte si approssima a ideale il modello, perciò si "aggiusta" la fase con un FACTORIZZAZIONE DI PASSO, ma un dispositivo con funzione del tipo:

$$H(s) = \frac{s^2 - as + b}{s^2 + as + b} \rightarrow |H(j\omega)| = 1, \text{ ma la fase varia!}$$

Noi ci limitiamo di approssimare il modello (filtrati di approssimazione), per il passo-passo.

Quindi possono utilizzare i dati dei manuali per la modellazione pura presentata? Normalizzazione.

## Normalizzazione

È spesso da può essere applicato in molte cor.

Dato una rete "vera", composta da resistenze, condensatori, induttori,

$$\boxed{\begin{array}{l} \text{RETE "VERA"} \\ \left| \begin{array}{l} \frac{1}{jR} = \frac{1}{jL} \\ \Delta = j + j\omega \end{array} \right. \end{array}} \rightarrow \boxed{\begin{array}{l} \text{RETE NORMALIZZATA} \\ \left| \begin{array}{l} Z = \frac{R}{R_0} \\ C = \frac{C_0}{\omega_0} \\ L = \frac{L}{R_0} \end{array} \right. \end{array}}$$

Si ottiene una "rete normalizzata" con la stessa topologia della precedente, ma con una  $Z = \frac{R}{R_0}$ ,  $C = \frac{C_0}{\omega_0}$ ,  $L = \frac{L}{R_0}$   
(rete normalizzata rispetto a una resistenza  $R_0$ )

Cosa capita?

$$Z_L = jL \rightarrow Z_L = j\frac{L}{R_0} = j\frac{L}{\omega_0} \quad Z_C = \frac{1}{jC} = \frac{1}{j\frac{C_0}{\omega_0}} = \frac{\omega_0}{jC_0}$$

Quindi si ha allo stesso normale. Vede si ha unica a de fari  
con grandezze normalizzate, la funzione di trasmissione è inalterata.

$$\frac{V_o}{V_i} = \frac{Z_L}{Z_L + Z_0}$$

Normalizzato rispetto a una resistenza  $R_0$ , nella rete normalizzata le  
impedenze sono divise per  $R_0$ , le ammettenze sono moltiplicate per  $R_0$ ,  
le funzioni di rete pure di dimensioni vengono inalterate.

$$\text{Capacità } \frac{1}{\omega_0}, \text{ e induttività } P = \frac{1}{\omega_0}$$

$$P = \Sigma + j\pi$$

$$\text{Allora immagine, capta da } \pi = \frac{\omega_0}{\omega_0} = \frac{f}{f_0}, \omega_0 = 2\pi f_0$$

Dato allo stesso di normalizzate, le funzioni ormai gli stessi valori:

quando  $\pi = 1$ , è come dire  $f = f_0$

Quindi:

$$\boxed{\begin{array}{c} R \quad L \quad C \\ \text{---} \quad \text{---} \quad \parallel \\ M \end{array}} \rightarrow z(s) = R + sL + \frac{1}{sC} = R + \frac{\Delta}{\omega_0} L + \frac{\Delta}{\omega_0} C = \\ = R + pL + \frac{1}{pC} \quad l = L\omega_0, \quad c = C\omega_0$$

Questa è una normalizzazione rispetto ad una frequenza  $f_0$ .  
(si può fare per le resistenze, per le capacità, per quel che si vuole).  
Rete normalizzata rispetto a  $R_0$  o  $\omega_0$ .

$$\boxed{\begin{array}{l} Z = R | R_0 \\ C = C \cdot \omega_0 \\ L = \frac{L}{R_0} \end{array}}$$

Cioè ha un duplo vantaggio:

1) Non più prende un generico circuito, e cambia i valori dei componenti, conservando la normalizzazione! In questo modo si possono ottenere valori meno "sparsi", più vicini all'unità!  
(vedi  $\Sigma$ )

2) Nel catalogo tutto è riferito a resistenze uniche; dal catalogo sempre si può ottenere ciò che si vuole, a partire dalla normalizzazione.

Ad esempio, in una rete RLC, dato  $R_0 = 10^3$ ,  $\omega_0 = 2\pi \cdot 10^3$ , si  
possa normalizzare le grandezze, e belli. VEDI SOTTO APPUNTI CON  
LA RETE RLC!



Prendendo da un normale la rete normalizzata, moltiplicando  
per i valori specifici, tipo da 1 a 1,2 MHz, e ci sarà subito  
il verso a ottenere il progetto interessante.

Breve normalizzazione per valori numerici, non per le unità di misura.

Note: con il set Danilo,  $\omega_0 = 10^8$ ,  $P_0 = 10^3$ ,  $\omega = \omega_0 = 10^9$ ,  $P = 10^3$

Cerchiamo di vedere cosa farà per passare da una formula matematica allo "intuito" della rete.

Vogliamo "passare" dal prefisso dell'ampiezza alla funzione

$$|t(j\omega)|^2 \xrightarrow{?} t(s)$$

Generatrice del modello

Data una generica funzione di rete:

$$H(s) = \frac{f(s)}{g(s)}$$

La generatrice del modello è la funzione:

$$\boxed{H(s) H(-s)}$$

Se  $s = j\omega$ ,  $H(j\omega) = H(-j\omega)$ , allora una funzione per il circuito complesso, e dunque il modello spettrale.

Era già pari in  $s=j\omega$ , e quindi

$$s^2 = -\omega^2$$

↓

$$|H(j\omega)|^2$$

Dallo reale  $\omega$  passiamo al piano complesso " $s$ ".

Si noti che gli zeri e i poli hanno una simmetria qualitativa sull'asse delle ascisse! Se c'è una coppia sul lato interno, questa ha un'equivalente pari

La struttura è: rispetto alle  
 $H(s) = \frac{f(s)}{g(s)}$  deve essere stabile: gli zeri di  $g(s)$  devono essere tutti sul semipiano sinistro, a sinistra dell'asse  $\omega$ !

$$|H(j\omega)|^2 \xrightarrow{\omega^2 = -s} |H(s) H(-s)| = \frac{|f(s) f(-s)|}{|g(s) g(-s)|}$$

Il primo passo è l'analisi:  $f(s)/f(-s)$  deve fare il numero del modello

1° passo: creiamo la generatrice del modello

Esempio:

$$|H(j\omega)|^2 = \frac{4(2\omega^2)}{1+\omega^2} \rightarrow H(s) H(-s) = \frac{(1-\sqrt{2}s)(1+\sqrt{2}s)}{(1-s)(1+2s^2)(1+s)(1-\sqrt{2}s^2)}$$

Quindi, cerchiamo di capire:

$$g(s) = (1+s)(s^2+s+1) = s^3 + 2s^2 + 2s + 1$$

Allora ci sono due soluzioni:

$$\frac{1-\sqrt{2}s}{s^3 + 2s^2 + 2s + 1}$$

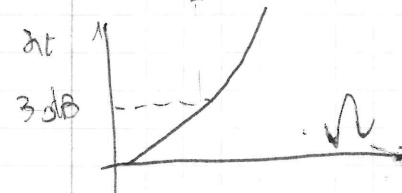
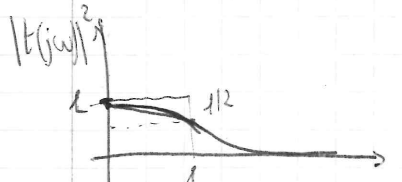
Tutte hanno lo stesso modello, basterà partire da una che serve! Una buona è la II<sup>a</sup>, perché a fase minima!

Consideriamo:

$$|t(j\omega)|^2 = \frac{l}{1+\omega^2}, \quad l \in \mathbb{C} \quad \begin{array}{c} \text{RL} \\ \text{C} \\ \text{RL} \end{array} \quad \boxed{V_L}$$

$$t(p) = 2\sqrt{\frac{R_L}{L}} \frac{V_L}{E}$$

Questa funzione ha questo andamento:



$$\text{Vediamo da} \quad t(p) t(-p) = \frac{l}{1-p^2} = \frac{l}{(1-p^2)(1+p^2)} = \frac{l}{(1-p)(1+p)(1+p^2)(1-p^2)} = \frac{l}{(1-p)(p^2+p+1)(1+p)(p^2-p+1)}$$

$$\rightarrow f(p) = l$$

$$g(p) = (1+p)(1+p^2+p) = p^3 + 2p^2 + 2p + 1$$

[ri regole la parte a poli non pertinenti!]

Ora bisogna cercare di uscire dalla impedenza di entrata

Cosa avremo visto l'ultima volta,

$$|t(j\omega)|^2 + |s(j\omega)|^2 = L$$

$$\frac{f(p)f(-p)}{g(p)g(-p)} = 1 - M_S \quad M_S \text{ funzione generatrice di } g$$

$$M_S = 1 - \frac{f(p)f(-p)}{g(p)g(-p)}$$

Il denominatore di  $g$  coincide coi quelli di  $t(p)$

$$\rightarrow s(p) = \frac{h(p)}{g(p)} \quad (\text{luminare del coeff. di vettore})$$

$$\rightarrow h(p)f(-p) + h(p)h(-p) = g(p)g(-p) \quad [\text{equazione di purezza, analitica}]$$

$$= \cancel{h(p)} = 1 + h(p)h(-p) = 1 - p^6 \rightarrow h(p)h(-p) = -p^6$$

Ora dobbiamo scegliere  $h$ ; potrebbe essere ad esempio,  $\pm p^3$  :-)

Quindi, come plausibile:

$$\begin{cases} h(p) = \pm p^3 \\ g(p) = p^3 + 2p^2 + 2p + 1 \\ f(p) = 1 \end{cases}$$

Prendiamo la definizione di  $g$ :

$$g(s) = \frac{R_S - z(s)}{R_S + z(s)}$$

$$\rightarrow g(1+j\omega) = 1 - j \rightarrow s + j\omega + j - 1 \rightarrow z(1+j\omega) = 1 - s$$

$$\rightarrow z = \frac{1-s}{1+s} \rightarrow = \frac{1-\frac{s}{j\omega}}{1+\frac{s}{j\omega}} = \frac{g-h}{s+1} =$$

Dato  $h = p^3$ ,

$$\rightarrow z = \frac{p^3 + 2p^2 + 2p + 1}{2p^3 + 2p^2 + 2p + 1}$$

(rendendo l'altro, come la sintesi della volta! :-))

Da sintesi ora si può fare mediante un metodo delle "divisioni successive"

Fissati  $h$ , si dev'è di grado più elevato, farà lo scommesso.

$$Y = \frac{2p^3 + 2p^2 + 2p + 1}{2p^3 + 2p + 1} \rightarrow \frac{2p^3 + 2p^2 + 2p + 1}{\cancel{-2p^3 + 2p^2 + p}} \quad \frac{\cancel{2p^3 + 2p^2 + p}}{P}$$

$$= P + \frac{p+1}{2p^2 + 2p + 1}$$

[di segno]

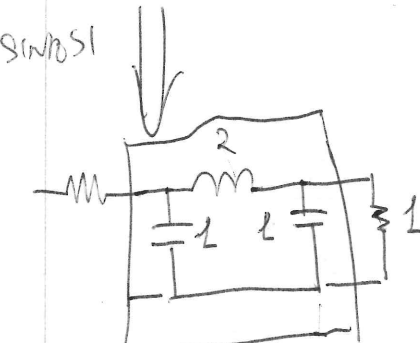
Ma quando " $p$ " è un condensatore, in parallelo a tutto il resto!

Poi si - volete,

$$Y_1 = \dots$$

$$Z_1 = \frac{2p^2 + 2p + 1}{p+1} = \frac{2p^2 + 2p + 1}{\cancel{-2p - 2p}} \quad \frac{\cancel{p+1}}{2p} = 2p + \frac{1}{p+1}$$

Quindi ora otteniamo un insieme di valori 2, e un insieme di valori  $\frac{1}{p+1}$ , ma questi in parallelo vanno controsovra e non funzionano!

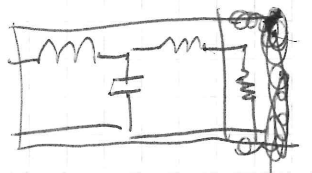


FILTRO!

## ESERCIZI

Questo procedimento funziona bene con il mezzo campo coseno, allora se dovrà fare cose un po' più complicate, si deve fare uno esercizio dei variabili.

Avevamo preso il "-", vediamo subito finì una struttura regolare con due induttori e un condensatore!



Questa è l'applicazione del disegno del punto grigio!

Ci sono modi più forti di fare le diverse variazioni

Ese:

$$\begin{array}{c|c|c} z & \frac{2s^3 + 2s^2 + 2s + 1}{2s^3 + 2s^2 + 2s + 1} & \frac{2s^2 + 2s + 1}{2s^2 + 2s} \\ \hline zp(I_q) & \frac{2s^2 + 3s + 2}{2s^3 + 7s^2 + 9s + 5} & \frac{2s^2 + 2s + 1}{2s^2 + 2s + 1} \end{array}$$

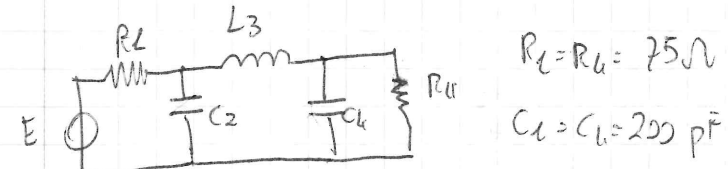
P (I qua.)

p+L (III qua.)

Considerazioni fisiche: questo faccio la sintesi, non soffro da vergo fiori. Qui si può pensare: a frequenza 0, se coeff. di transizione vale 1, e quindi la colonna d'è la norma terminale di potenza!

Nelle funzioni di partenza,  $t(p)$ , per ogni tipo di transizione allora un componente reattivo! Anche, facendo i calcoli, è di fatto possibile pensare la struttura del filtro!

Si consideri il circuito:



$$L = 3 \mu H$$

In determinare le costanti di normalizzazione  $R_0$  e  $\omega_0$  in modo che, nel circuito normalizzato,  $Z_1 = Z_2 = 1 \Omega$ ,  $C_1 = C_2 = 1 F$

$$R_0 = 75$$

$$C = 1 F \rightarrow 200 \text{ pF} \quad c = C \cdot R_0 \cdot \omega_0 \quad \frac{L}{200 \cdot 10^{-12} \cdot 75} = 66,6 \cdot 10^6$$

$$L = \frac{8}{3} \cdot 10^{-6}$$

Usando lo stesso metodo, si ottiene

$$\text{C)} \quad \frac{2s^2 + 3s + 2}{2s^3 + 7s^2 + 9s + 5}$$

$$\begin{array}{c|c|c} z & \frac{2s^3 + 7s^2 + 9s + 5}{2s^3 + 7s^2 + 9s + 5} & \frac{2s^2 + 2s + 1}{2s^2 + 2s + 1} \\ \hline zp(I) & \frac{2s^3 + 7s^2 + 9s + 5}{115s^2 + 168s + 6} & \frac{2s^2 + 2s + 1}{2s^2 + 2s + 1} \end{array}$$

$$\text{D) } \frac{2s^2 + 3s + 2}{2s^3 + 7s^2 + 9s + 5} \quad \begin{array}{c|c|c} z & \frac{2s^3 + 7s^2 + 9s + 5}{2s^3 + 7s^2 + 9s + 5} & \frac{2s^2 + 3s + 2}{2s^2 + 3s + 2} \\ \hline z(II) & \frac{2s^3 + 7s^2 + 9s + 5}{114s^2 + 7s + 5} & \frac{4s^2 + 7s + 5}{114s + 1} \end{array}$$



$$\begin{array}{c|cc|c} z & 2z^3 + 7z^2 + 9z + 5 & 2z^2 + 3z + 2 & y \\ \hline & 2z^3 + 7z^2 + 9z + 5 & & \\ & \cancel{2z^3 + 7z^2 + 9z + 5} & & \\ \hline & & & \\ \hline z & z^3 + 2z^2 + 2z + 1 & z^2 + 4z + 3 & y \\ \hline & \cancel{z^3 + 2z^2 + 2z + 1} & \cancel{z^2 + 4z + 3} & \\ & \cancel{z^3 + 2z^2 + 2z + 1} & & \\ \hline & & & \\ \hline 4 \rightarrow (II^\circ) & z^3 + 2z^2 + 2z + 1 & z^2 + 4z + 3 & \frac{1}{2}z \quad (I^\circ) \\ & \cancel{z^3 + 2z^2 + 2z + 1} & \cancel{z^2 + 4z + 3} & \\ & \frac{1}{2}z & & \frac{1}{8}z \quad (III) \\ & \cancel{z^3 + 2z^2 + 2z + 1} & & \\ \hline & & & \\ & & & \frac{1}{2} \frac{1}{T} \quad \frac{1}{3} \frac{1}{T} \quad \frac{1}{3} \frac{1}{T} \end{array}$$

Nota di Alberthex: il filtro fa in modo da essere discollato, alle frequenze in fondo alternata! BEATO!

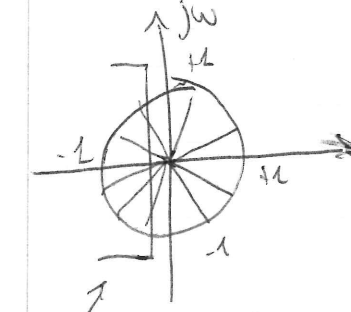
$$\frac{2z^2 + 3z + 3}{2z^3 + 5z^2 + 3z + 15}$$

$$\begin{array}{c|cc|c} z & 2z^3 + 5z^2 + 3z + 15 & 2z^2 + 3z + 3 & y \\ \hline & 2z^3 + 5z^2 + 3z + 15 & & \\ & \cancel{2z^3 + 5z^2 + 3z + 15} & & \\ \hline & & & \\ & & & z \quad (I^\circ) \end{array}$$

Ese 2:

Consideriamo il segnale reale del coeff. di 2 come:

$$|t(j\omega)|^2 = \frac{\ell}{1+\omega^8} \quad \frac{1}{1+p^8} \rightarrow \omega^2 = p^2 \quad p^8 = -1$$



$$t(p) \bar{t}(-p) = \frac{1}{1+p^8}$$

$$\omega^2 = p^2 \rightarrow p^8 = -1$$

$$-1 = e^{j(\pi + 2k\pi)} \quad k=1, 2, \dots, 8$$

prendiamo solo quelle nel semipiano negativo.

$$[p - (C \cos \varphi + j S \sin \varphi)] [p - (C \cos \varphi - j S \sin \varphi)] = [(p - C \cos \varphi) - j S \sin \varphi][(p - C \cos \varphi) + j S \sin \varphi] =$$

$$= (p - C \cos \varphi)^2 + S^2 \sin^2 \varphi = p^2 - 2p C \cos \varphi + C^2$$

Essendo una retta a scala pura basso, i costanti stanno in parallelo, gli induttori in serie, 2+2

Problema altro

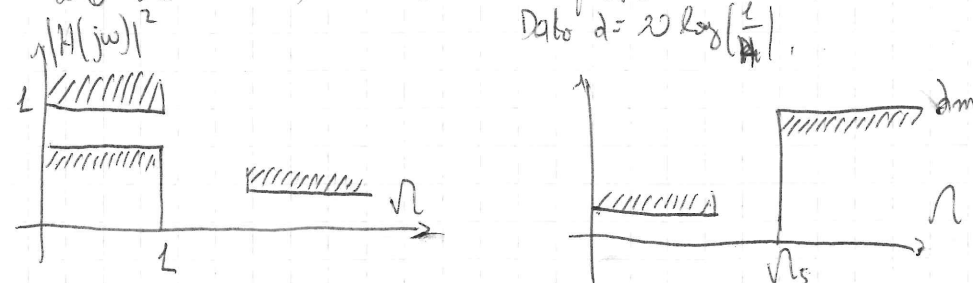
Sintesi filtro LC binotato

MATLab:  $\text{W} = \text{conv}(w, v)$

21/11/08 Teoria

### Filtri di Butterworth

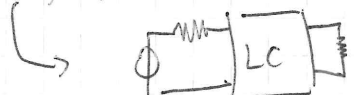
Così detto i più semplici perché rendono nati in Butterworth. Queste sono le specifiche sul modulus questo.



La cosa più semplice è questa:

$$|H(jw)|^2 = \frac{N}{1 + \epsilon^2 N^{2m}} \quad \text{Per ordine di filtro } L_C, \text{ sono pette e pessi, MOL; in questo modo sono soddisfatte le condizioni di attivita'!}$$

$\omega_L^2 |H(j\omega)|^2 = 1$  (condizione massima e inf. da non superare)

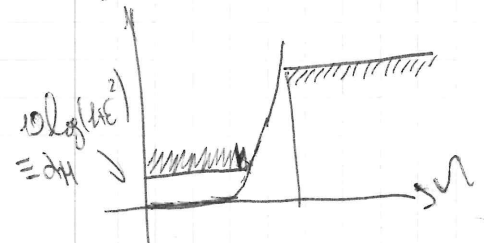


Bisogna dimensionare  $\epsilon$  o  $N$  in modo da ottenere la curva di risposta specificata. Se desiderate una curva da:

la debole è nulla per un tratto molto lungo, per N=1 volte; per questo i filtri Butterworth vengono definiti "memoramento profondo".

Quanto più  $n$  è elevato, tanto più ripetutamente si scende a 0!

Guardando l'attenuazione:



Dato che deve accadere nella specifica,

$$10 \log(1/\epsilon^2) = \Delta_H$$

$$\log(1/\epsilon^2) = q_H \Delta_H$$

$$1/\epsilon^2 = 10$$

$$\epsilon = \pm \sqrt{10^{\Delta_H} + 1}$$

In corrispondenza di  $\omega_s$ , l'attenuazione deve essere maggiore di  $\Delta_H$

$$\Delta_H = \Delta(\omega_s) = 20 \log(1 + \epsilon^2 \omega_s^{2n}) \geq \Delta_H$$

Approssimando:

$$20 \log(\epsilon^2 \omega_s^{2n}) \geq \Delta_H \rightarrow \cancel{\text{Butterworth}} \Delta_H \approx \Delta_H$$

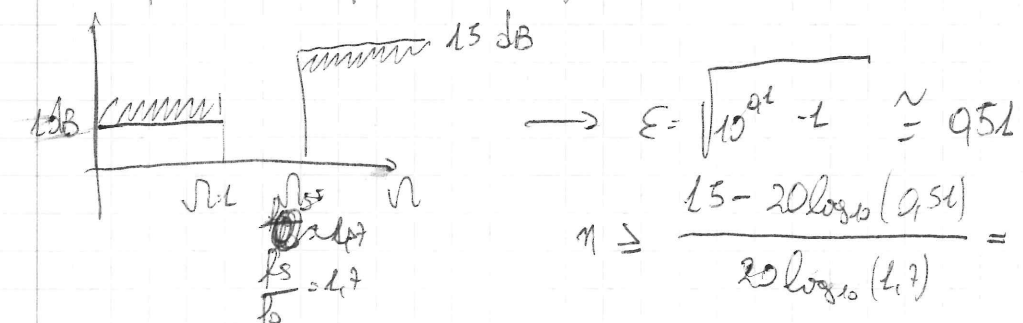
$$20 \log(\epsilon^2 \omega_s^2) \geq \Delta_H$$

$$\rightarrow 20 \log \epsilon + n 20 \log \omega_s \geq \Delta_H$$

$$n \geq \frac{\Delta_H - 20 \log \epsilon}{20 \log(\omega_s)}$$

$n$  deve essere intero, quindi al limite  $n$  addiziono in eccesso le spallate.

Esempio: assegno le specifiche:



$$\rightarrow \epsilon = \sqrt{10^{13} - 1} \approx 95$$

$$n \geq \frac{13 - 20 \log(0.95)}{20 \log(10)} = 4.53 \rightarrow 5$$

Ora solo per specifiche così "basse", serie  $n=5$ ! Quindi già un filtro di ordine 5!

Butterworth ha un'attenuazione da altrove poco, ma la fase permane a quella lineare!



Filtro di Chebyshev

$$|H(j\omega)|^2 = \frac{1}{1 + \epsilon^2 [T_n(\omega)]^2} \quad T_n(\omega) \text{ polinomi di Chbyshev}$$

Sono filtri a rischio per uscita modulare; ha unico  
aumento eg. differenti.

"Filtri a angoli condizionati"; sono i filtri a selettività negativa, cioè  
a partito di medie han bisogno del minimo numero di componenti

$$T_n(\omega) \stackrel{\Delta}{=} \operatorname{Cosh}(n \operatorname{Arcos}(\omega)) \quad |\omega| < 1$$

$$= \operatorname{Cosh}(n \operatorname{Arcosh}(\omega))$$

È un polinomio? Ovvvero che per  $n=0$ ,  $T_0 = 1$ ;

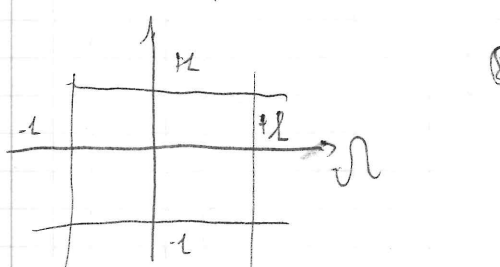
$$\text{Se } n=1, T_1 = \operatorname{Cosh}(\operatorname{Arcos}(\omega)) = \omega$$

Essi una formula ricorrente tale per cui si può trovare il "n":

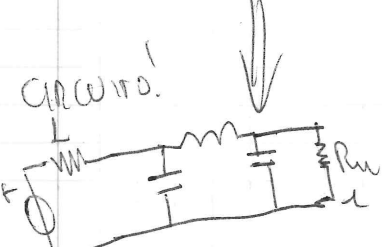
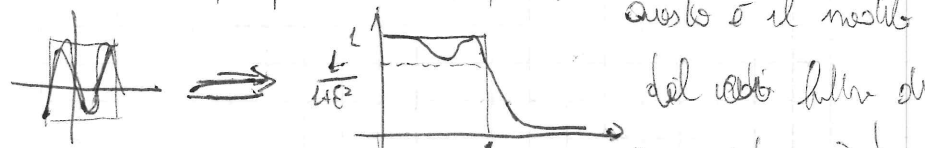
$$T_n(\omega) = 2\omega T_{n-1}(\omega) - T_{n-2}(\omega)$$

Dunque

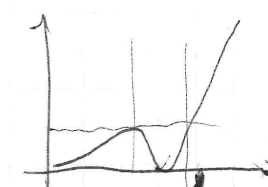
$$\text{per } n=2, T_2 = 2\omega T_1 - T_0 = 2\omega^2 - 1$$



Ovvvero studiare l'andamento per  $\omega \gg 0$ ; peraltro ed esponendo questo è il modello  
il grado 3:

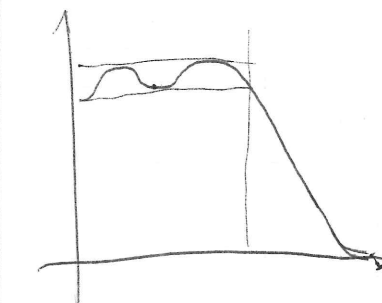


Risposta  
attenuata:



Per la continua, si ha il massimo trasferimento possibile, però il rischio  
è dubbio. Quindi,  $R_n = 1$  (non la resistenza del circuito per la  
continua)

Nota: con  $n=4$ , il circuito sarà così:



Note: ora non solo  
perché più è la resistenza,  
perché non si parla del  
rischio con coefficiente di  
trascuratezza dei  
filtri! Per Butterworth vale SEMPRE

$\omega_p$  per Chebyshev o INVECE no!

Per quanto riguarda  $\epsilon$ , com'è quella rispetto a Butterworth?  
L'equazione da scrivere è SEMPRE LA STessa!

$$10 \log (1 + \epsilon^2) = d_N$$

$$\rightarrow 1 + \epsilon^2 = 10^{d_N/10}$$

L'equazione è UGUALE!

Per  $n$ , invece? Vediamo!

$$\epsilon \stackrel{\Delta}{=} \frac{\operatorname{Arctanh}(\sqrt{10^{d_N/10} - 1})}{\operatorname{Arcosh}(\lambda_s)}$$

Vediamo di:

$$d(\lambda_s) \stackrel{\Delta}{=} d_m$$

$$d(\lambda_s) = 10 \log [1 + \epsilon^2 T_n^2(\lambda_s)] \stackrel{\Delta}{=} d_m$$

$$1 + \epsilon^2 T_n^2(\lambda_s) \stackrel{\Delta}{=} 10^{d_m/10}$$

$$\epsilon^2 T_n^2(\lambda_s) \stackrel{\Delta}{=} 10^{d_m/10} - 1 \rightarrow |\epsilon| T_n(\lambda_s) \stackrel{\Delta}{=} \sqrt{10^{d_m/10} - 1}$$

$T_n$  è sempre positivo,  $|\epsilon|$  sono col verso opposto perché  $\epsilon$  potrebbe essere  
positivo o negativo.

Poi si fissa la dimensione e si trova " $n$ ".

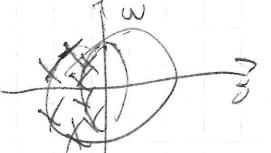
Facendo i calcoli, trovando, nel circuito equivalente a quello di Bode! Il gresso viene spesso dimesso!

Bullenwinkel si usa però se non per filtri estremamente regolari o problemi particolari.

Si dimostra che i Chelchew sono il massimo in termini di selezione!

Meglio selezionare si può ora con i filtri ellittici

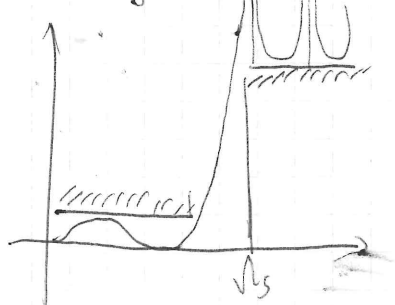
Chelchew ha i filtri "parati sull'ellisse" come sulla dimensione

 quindi capta da un filtro ellittico, ovvero  
poli ormai all'infinito  $\omega = \infty$

La curvatura all'asse  $j\omega$  è definita e quantificata sul "z" del polo. Per i filtri passi non passano.

Molte volte i poli vicini a  $j\omega$ , provocano cattivi effetti per la fase! Tanto più il filtro è selettivo, tanto meno la fase è lineare!

Altre categorie di filtri, più selettivi, sono le curve di avere un'alterazione maggiore dove meno tempo, ma di più piccola, ma bogliando questo in banda attivabile!



Cosa, necessita di potere in banda attivabile, e ~~che~~ cambia la frequenza.

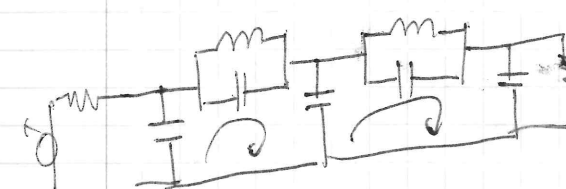
Filtri ellittici (di Cauer)

Tutto si basa sull'uso di circuiti risuonanti!

$$\text{Circuito} \quad \text{Circuito} \quad \text{Circuito} \\ t = \frac{1}{\omega_0} + \frac{1}{\omega_0^2} = \frac{\omega_0^2 L C}{\omega_0} \quad \text{per } \omega_0 \\ \omega_0 = \frac{1}{\sqrt{LC}}$$

Grazie ai circuiti risuonanti uno solo di framme, in modo da aumentare la perdita in banda attivabile, e per ottenere le

Al posto dei induttori o condensatori, molte volte sono dei paralleli!



Grado 5 sul alto (3 condensatori, e 2 resistori)

Dal circuito, per determinare il gresso, si calcola il numero di corpi reali, e si legge il numero di nodi di condensatori e degli induttori.

Hannali

AEG-TELEFUNKEN

Rudolf Saal - Handbuch zum Filtern...

P = Potenza (Bullenwinkel) si troverà si usa per controllare potenza

T = Chelchew

Psi: si fa vedere come si fa un passo alto (2), ed il passo basso (1): in pratica capta da un un passo alto si selettivano i condensatori con gli induttori e via via.

26/11/28 Teoria

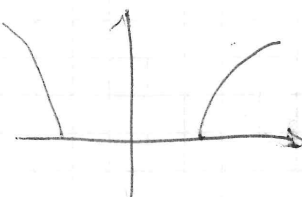
### Trasformazioni di frequenza

In questo i filtri si fanno fare per valori molto diversi o a L (può essere un passo alto basso, ea). Ci le trasformazioni di frequenza si può far così.

Dato  $s = \sigma + j\omega$  (vuole ~~denominatore~~ della  $H(s)$ )

In più severo

$$\Delta A(\omega) = 20 \log \frac{\omega}{|H(j\omega)|}$$



$\Delta A$  è pari a quando solo se ci interessa solo il passo basso al negativo.

Si fa un cambio di variabili: per sfruttare la comoda effetto della rete denominata. Dato  $s = F(p)$ , si ha

$$\Phi(p) = H(F(p))$$

Scegliendo ~~F(p)~~ idoneamente, si può far in modo da sottrarre una curva di attenuazione che soddisfi le nostre specifiche.

In ciò più semplice, che già abbiamo visto, è "denominatore" rispetto alla frequenza  $f_0$ .  $\frac{\omega}{\omega_0} = \frac{f}{f_0}$  se  $N=1$ ,  $f=f_0$ !

Averemo definito  $N = \frac{\omega}{\omega_0} = \frac{f}{f_0}$

$$\downarrow \quad \downarrow$$

$$s \leftarrow p = f_0 \cdot \frac{\omega}{f_0}$$

$$s = \frac{p}{\omega_0}$$

L'asse delle frequenze viene scelto per  $w=\omega$ !

Cosa capita? Se ho un condensatore  $C$ , e un ~~induttore~~ ammoltore

$$Y = sC, \quad Y_p = \frac{p}{\omega_0 C} \rightarrow C_p = \frac{p}{\omega_0}$$

Come si fa per ottenere da un passo basso un passo alto?

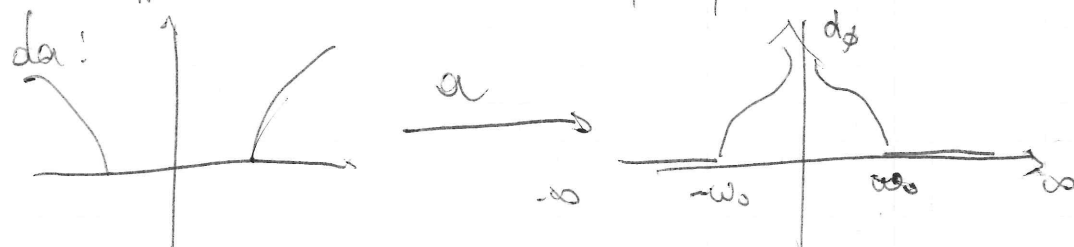
Bene, si può fare il reciproco: la trasformazione nominata è passo alto è:

$$s = \frac{\omega_0}{p} \quad ; \quad \Phi(j\omega) = \frac{\omega_0}{j\omega} = -j \frac{\omega_0}{\omega}$$

$$\rightarrow N = \frac{\omega_0}{\omega}$$

Da trasformare trascina 0 in  $\infty$ , quindi si ha:

da:



Da seconda è una curva di risposta passo alto!

Cosa capta? Se il condensatore in  $Y = s \cdot e$ ,

$$s = \frac{\omega_0}{p} \rightarrow Y = \frac{\omega_0}{p} = \frac{1}{\frac{p}{\omega_0}} \rightarrow L = \frac{1}{\omega_0 \cdot p}$$

Il condensatore si trasforma in un induttore di induttanza  $L = \omega_0 \cdot c$ .

Quindi un induttore diventa un condensatore.

Se si vuole progettare un passo alto, si cerca la soluzio con il maggior numero di ~~induttori~~, e la trasformaz li farà diventare condensatori!

Esempio: si sopra prendere la mappa e trasformare in quella del percorso basso che più ci serve!

O per metterci dal mondo n. tratta il circuito, si applica la trasformazione, e così si arriva al circuito finale! Si sostituisce il percorso basso, e quindi si trasforma nel percorso alto corrispondente!

E un percorso basso? Beh, è difficile senza numeri.

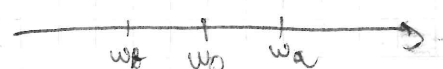
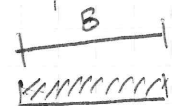
Si fa una combinazione di percorso basso e percorso alto.

$$S = \frac{w_0}{B} \left( \frac{P}{w_0} + \frac{w_0}{P} \right); \quad B = w_a - w_b;$$

$$\sqrt{N} = Q_0 \left( \frac{w_a - w_b}{w_0} \right) \quad w_0 = \sqrt{w_b w_a}$$

$w_b$  = ALTO, ~~PESA~~

$w_a$  = STA PUO BASSO.



Ora, bisogna scegliere un  $N$ , e vedere quante valori  $w$ . Il problema è che salta fuori un'inequazione di II° grado:

$$N = Q_0 \cdot \frac{w}{w_0} - Q_0 \cdot \frac{w_0}{w}$$

$$\rightarrow w \sqrt{N} = Q_0 \frac{w^2}{w_0} - Q_0 w_0 \quad \rightarrow Q_0 \frac{w^2}{w_0} - \sqrt{N} w - Q_0 w_0 = 0$$

$$\rightarrow Q_0 w^2 - \sqrt{N} w_0 w - Q_0 w_0^2 = 0$$

$$\rightarrow w^2 - \frac{w_0}{Q_0} \sqrt{N} w - w_0^2 = 0$$

Scegli  $w_0 > 0$ , ~~fatto~~ per avere due valori della  $w$ !

Le due pulsazioni,  $w_0$  e  $\bar{w}_0$ , hanno come prodotto  $w_0^2$ !

✓

Da soluzioni ha simmetria spaziale rispetto alla frequenza d'onda.

Faccendo comprendere, si può vedere che, nell'intervallo  $[t; t]$ , si mappa su due intervalli:  $[-w_0; -w_b]$ ;  $[w_b; w_0]$  (uno per alto e uno per basso!)

La banda passante si mappa nell'intervallo  $[w_a; w_b]$ .

Caratteristiche:

- 1) Il numero di elementi, mentre si fa la mappa, è ribassato.
- 2) Il numero si moltiplica e si pone a quello indipendente.
- 3) I valori dei componenti sono molto dispersi:  $\sqrt{\frac{w_0}{B}} \gg 1$

Procedura:

• Si calcola  $w_0 = \sqrt{w_b w_a}$  e  $B = w_a - w_b$

• Si cerca la mappa del percorso basso

• Si cerca il percorso alto

• Si trasformano i componenti.

$$S = Q_0 \left( \frac{P}{w_0} + \frac{w_0}{P} \right) \quad P = \frac{B}{2} \quad M = \frac{B}{2}$$

$$P(p) \rightarrow Q_0 \left( \frac{P}{w_0} + \frac{w_0}{P} \right) p = \frac{Q_0 p}{w_0} + \frac{Q_0 w_0}{P}$$

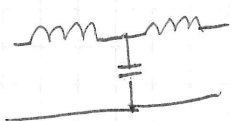
Due elementi in serie: un insieme  $L = \frac{Q_0 l}{w_0}$ , è un condensatore di capacità  $\frac{l}{Q_0 w_0 l} \Rightarrow M \parallel$  !!

A che frequenza vuole questo numero?

$$f = \frac{1}{\sqrt{LC}} = \frac{1}{\sqrt{\frac{1}{w_0^2}}} = w_0$$

Ora una alla frequenza di corte lenta!

Pura il circuito  $\omega_0$

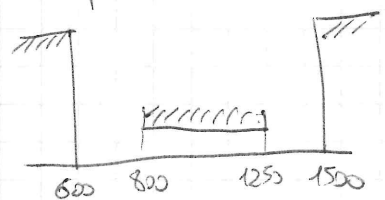


Per f<sub>0</sub> si aveva il c.c. di tremulo f,  
ora la cosa capta a Regola f!

Faccendo l'annullamento Y(f) si trova un risonatore parallelo.

Il modello da cercare per f<sub>0</sub> "SPARCA" l'antenna dell'isola!

Come si progetta?



Come si progetta?

1) Ricerca sul mondo del modello per le donne

$$f_0 = 1000$$

$$B = 2\pi(1250 - 800) = 2\pi \cdot 450$$

$$Q_0 = 2,222$$

$$\eta = Q_0 \left( \frac{\omega}{\omega_0} - \frac{\omega_0}{\omega} \right)$$

Si ponono due limiti, più con 600, più con 1500?

$$\eta \Big|_{1500} = 2,22 \left( \frac{1500}{1000} - \frac{1000}{1500} \right) = 1,852$$

$$\eta \Big|_{600} = 2,22 \left( \frac{600}{1000} - \frac{1000}{600} \right) = -2,372$$

Si sceglie da  $\eta^a$ : sostituendo 1500, si trova un valore  $\eta^a$ ; sostituendo 600 una  $\eta^b$ . Il secondo valore non va bene perché è più lontano da 1000 rispetto all'altro. Farà peggio più tardi. Il primo è più vicino allo spunto.

## • Filtri RC attivi

• Liltw: Active Filter Design Handbook (G.S. Moschytz)

Presidente della IEEE

1) Si fa la somma  
di tutti  $\eta_i$  Summare le equazioni del circuito LC  
similare di (annullare o impedire)  $\rightarrow$  GIC

2) Creare da noi domo equivalente LC!

Celle in cascata

Fasi:

1) Fare di approssimazione di linea frequenze (si cerca di far sì che i poli non lavorino dall'altra parte!) la linea di risposta  
del quale sarà la più facile percorso.

2) Fatturamento: si cerca di far trovare verso i 2 poli anche

3) I filtri si realizzano con delle leggi esponenziali: un solo RC come reazione e l'operazione!

Vantaggi: semplicità di progetto, facilità di messa a punto  
del circuito, minimo consumo di potenza, resistività.

27/11/08 Teoria

Con  $\sigma$  si indica la variazione complessa della vettore NORMA  
e effettiva. Dato pera l'onda normale uguale tranne il generico filtro. Nei filtri ci sono degli elementi. E i poli e gli zero.  
Pensiamo di trasformare la nostra vettore pera l'onda normale e vedere  
cosa succede.

Dato una radice reale, in  $-\sigma_p$ , quindi

$$\begin{array}{c} j\omega \\ \rightarrow \\ -\sigma_p \end{array}$$

Per calcolare le radici mettiamo le relazioni sopra, e  
quindi belli. Si ottiene:

$$Q_0 \cdot \left[ \frac{P}{\omega_0} + \frac{\omega_0}{P} \right] + \sigma_p = 0$$

Moltiplichiamo per  $P\omega_0$ , e quindi:

$$Q_0 P^2 + \omega_0^2 Q_0 + \sigma_p P \omega_0 = 0 \rightarrow \text{discr.} \\ \rightarrow P^2 + \frac{\omega_0^2}{Q_0} P + \frac{\omega_0^2}{Q_0} \omega_0^2 = 0$$

Da qui si pensa a  $\sigma_c + j\omega_c$

(sulla discussione allora si parla complessa omigli  $\sigma_c$ )

$$P_{1,2} = \frac{\omega_0^2 - \omega_c^2}{2} \left[ \sigma_c + j\omega_c \pm \sqrt{\sigma_c^2 - \omega_c^2 + 4Q_0^2} \dots \right]$$

Si trovano le due radici, poi se prende la coppia coniugata  
ne trovano altre due, e belli.

Dato  $\sigma_c + j\omega_c$ , avremo due radici, due coppie coniugate.

C'è una bellissima norma che con tutte le definizioni, le sostituzioni,  
e simboli!

$$\begin{array}{c} j\omega \\ \rightarrow \\ \sigma_c \end{array}$$

Per i filtri Cauer, per ogni  $\sigma_c + j\omega_c$  c'è un termine  $(s^2 + \sigma_c^2)^{1/2} (s^2 + \omega_c^2)^{1/2} \dots$

Se la formula viene applicata sul pera lento, la formula finale

Raddoppia di grado! Portando da un pera lento di grado 3,  
si arriva ad un pera lento di grado 6!  
Le due soluzioni per  $\sigma_c$  sono le più utili! Rappresentate le  
radici in quel modo!

FILTRI RC-ACTIVI.

Nomenclatura: dato una radice  $\sigma_p$  si ne può identificare modulo  
e fase, o le entrambe. Di solito usiamo il modulo/phase:

$$W_P = \sqrt{\sigma_p^2 + \omega_p^2}$$

$$q_p \triangleq - \frac{W_P}{2\sigma_p} \quad (\text{"q" della radice})$$

Nel segnale  $sX$ ,  $\sigma_p$  è negativo, quindi belli!

$q_p > 0$  per radice nel semipiano di sx, !!!!

Per  $q_p \rightarrow \infty$ , la radice tende ad andare sull'asse w!

Tanto più  $q_p$  (per i poli) è alto, tanto più il circuito  
tende all'instabilità, e belli.

Bley: intuitivamente, quanto più  $q_p$  è elevato, tanto più il prodotto  
del circuito è "cubico".

$$[s - (\sigma_c + j\omega_c)] [s - (\sigma_c - j\omega_c)] = (s - \sigma_c)^2 + \omega_c^2 = s^2 - 2\sigma_c s + \sigma_c^2 + \omega_c^2$$

$$[(s - \sigma_c) - j\omega_c] [(s - \sigma_c) + j\omega_c] = (s - \sigma_c)^2 + \omega_c^2 = -\sigma_c \cdot s + \sigma_c^2 + \omega_c^2$$

$$\text{Ha } \sigma_c^2 + \omega_c^2 = s^2 + \frac{W_P^2}{q_p^2} \rightarrow s + \omega_p$$

Questo è il polinomio associato alla radice di un certo  $W_P$  e in  
certo  $q_p$ . Nello slide ma "p" snello "s".

Dato un polinomio, è facile fare il "poligono inverso".

$$\rightarrow s^2 + \left[ \frac{R_1}{L_1} \right] s + \left[ \frac{R_2}{L_2} \right] s^{op} \quad \text{è così!}$$

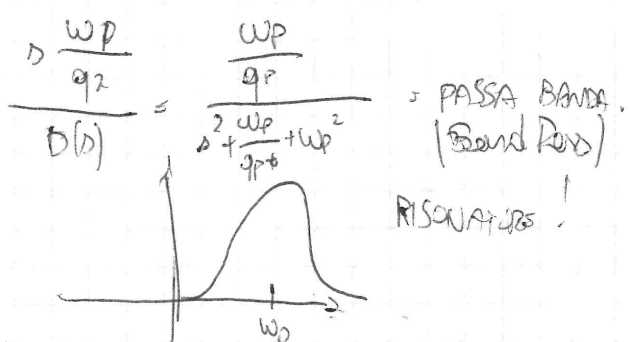
Per le celle di Sallen-Key, avremo a de fondo:

$$H(s) = K \frac{s^2 + \frac{w_t}{q_2} s + w_2^2}{s^2 + \frac{w_p}{q_p} s + w_p^2} \rightarrow D(\Delta)$$

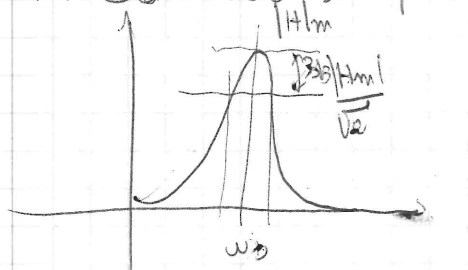
Una cella pass-alto sarà:

$$H(s) = \frac{\Delta^2}{D(\Delta)} \quad (\text{High-Pass})$$

$$\frac{w_p^2}{D(\Delta)} \quad (\text{Low-Pass})$$



Per calcolare il polo senando il Q! Vediamo:



$$Q = \frac{w_0}{B}$$

Notch!

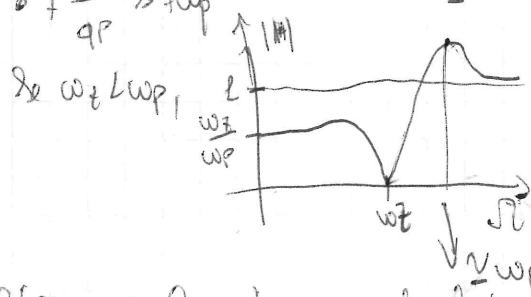
$$Q \geq w_0 L R$$

Queste cose sono a p. BOA! 1/84 (p. 4)

Data la situazione:

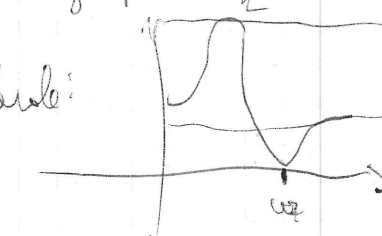
$$\frac{s^2 + w_2^2}{s^2 + \frac{w_p^2}{q_p} s + w_p^2} \quad \text{Si pensa avere tre casi, tre tipi diversi di circuito, se}$$

$$w_2 \geq w_p$$

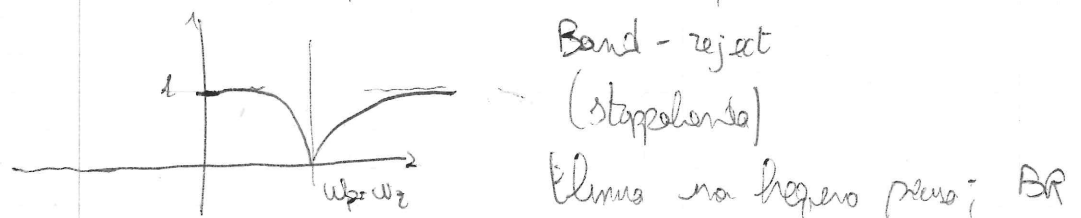


C'è poi la situazione doppia:  $w_2 > w_p$  (grafico doppio).

Non pass Notch



Treda possibilità,  $w_p = w_2$ , nella quale:



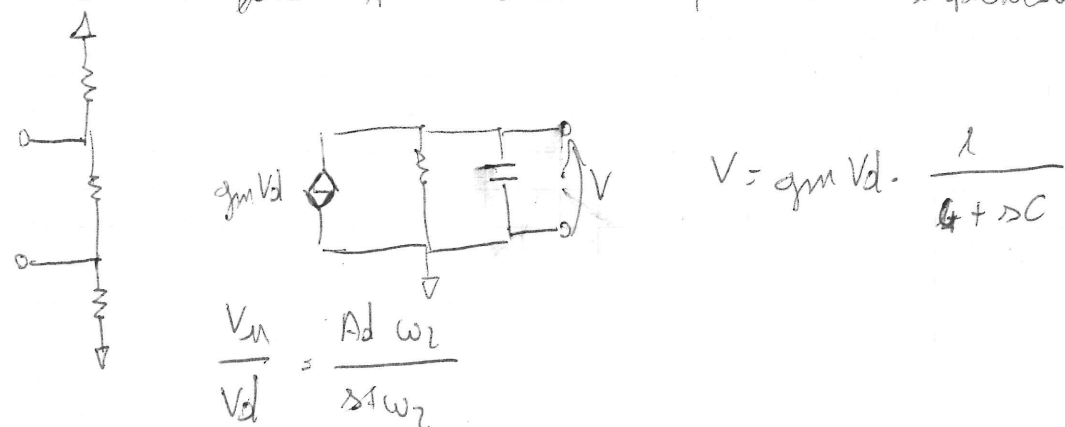
I servono di solito operazioni compensate interamente;

$$A(p) = \frac{A_0 w_2}{p + w_2} ; \quad w_t = \text{"frequenza di taglio".}$$

Come si presenta con SAKO una cosa simile? Beh, avremo bisogno di un circuito semipassivo di tipo:

$$A(s) = \frac{A_0}{1 + \frac{s}{w_2}}$$

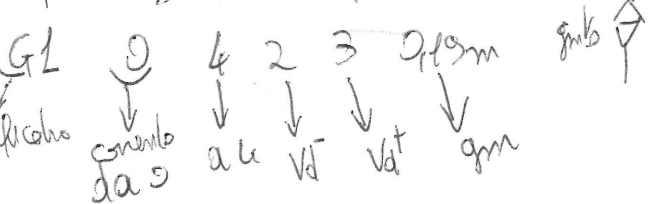
che non fatto apprezzando in questo modo l'operatore:



$$V_{in} = K \cdot gm \frac{l}{l + RC} V_d$$

$$\frac{V_{in}}{V_d} = \frac{K \cdot gm}{l + RC}$$

Sono operatori dipendenti



Quindi NON SONO!

## Esercitazione

Progetto di filtro LC

- 1)  $R_s = 600 \Omega$ , corso:  $600 \Omega$ , curva da 0 a  $9 \text{ kHz}$   
otteniamo bassaletta a 0,3 dB, banda ottimale:  $26 \text{ kHz}$ , all. bassaletta  
non più di 40 dB.

Da manuale, si cerca  $\text{Cav}_s$  di cui per 8 si trova,  
per aver 2 dB banda passante:  $\frac{26}{8} = 3,25$

Scegli un filtro con  $W_s$  un po' più piccolo di 3,25, no  
ando l'ottenimento anche!

C0325:  
scegli  $\omega_{cav} = 2\pi \cdot 8 \text{ kHz}$   
il prezzo del cappuccio di  $\omega_{cav}$   
è al minimo quindi

Non va bene: ottieni poco in banda ottimale!

C0325 va bene: 0,28 dB

Si guarda nel catalogo, e da qui si tira fuori l'ottenimento  
a 0,325!

Risultato, C0325,  $\theta = 18$

Si sceglie il  $\theta$ ; poi si calcolano gli altri variabili  
i componenti!

$$L_1 = 1288350; L_2 = 1,076656; C_2 = 0,067366; C_3 = 1,298350.$$

$$R = 600;$$

$$C_1 = C_3 = \frac{C_2}{R_{\text{loss}}}$$

- 2) Passa alto Chishlow  $R_s = 50 \Omega$ ,  $R_o = 50 \Omega$ ,  
banda passante da  $15 \text{ kHz}$  a  $8 \text{ kHz}$  all.  $\frac{1}{2}$  di 1,3 dB, ottenere da  
40 dB da 0 a  $8 \text{ kHz}$

$$\frac{15}{8} = 1,875$$

$$n = \frac{\text{ArcCosh}(\sqrt{10^{0,25 \text{dB}}} - 1)}{\text{ArcCosh}(n_s)}$$

$$E = \sqrt{10^{0,25 \text{dB}}} = \sqrt{3,326327} = 1,839$$

$$n \geq 14,697 = 5$$

Fatto così

Si cerca quello con più induttori, o si sceglie dal  
catalogo!

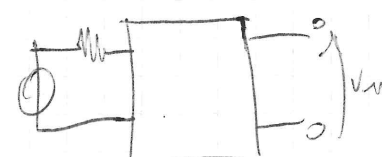
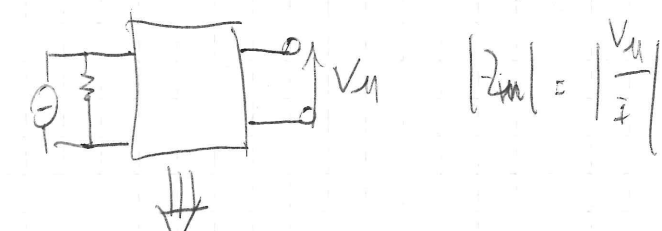
Sono questi BENT si come scegliere dal catalogo!

Per capire quel è il migliore, studio banda ottimale al  
prezzo minore del Saab

28/11/28

Esercizio 3: quali usare?

Sp. 4: più carino! Progetto filtri LC corso da una sala  
parte! Quando ho un dispositivo così:



Il numero dei filtri permette anche di fare circuiti di questo genere  
ma connessi solo da un lato!

Riservato

$$|t(j\omega)|^2 \rightarrow g(s) \rightarrow z(s)$$

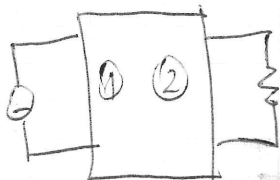
Ora del modulo questo di  $z(s)$ :

$$|z(s)|^2 = \left| \frac{V_o}{I} \right|^2$$

C'è un legame con la parte reale di  $t$ , e da qui si ricava  
a coscienza la  $z(s)$ :

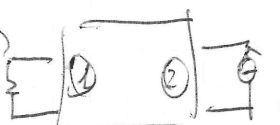
$$|z(s)|^2 \rightarrow \operatorname{Re}\{z(s)\} \rightarrow z(s)$$

Quindi si fa un sintetizzatore filtri ciò? Dal manuale dei filtri LC si prende da  $z_1 = s$ ,  $z_2 = L$ ? Già penso che cosa le soluzioni possibili? Nella formule, con  $z_1 = s$ ,  $z_2 = L$   
si ha solo la versione di uscita?

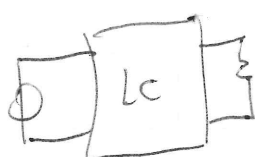


Ma questo è diverso da ciò che avevo pensato!

Cosa bello: avendo una rete LC, è reciprocă, quindi si può di fatto "far il contrario":



Moltissimo, il manuale si può leggere "dal basso verso l'alto" e pone  $z_1 = s$ ,  $z_2 = L$ , o così via.



(questo delle  
cose belle "dal basso")

Per comprendere, è possibile fare:



Se problema dunque versione di ingresso di  $s$  si ha uscita  
a uscita. Allora, vediamo la prossima volta.

#### SENSITIVITY

Vogliono qualcosa che abbia una curva di uscita che sia entro certo spettro. Si introduce il concetto di sensitività.

Dato un funzione reale dipendente da un certo numero di parametri,

$$F = F(x_1, x_2, \dots)$$

Si chiamerà "sensibilità" della funzione  $F$  la quantità:

$$S_{x_i}^F \triangleq \frac{x_i}{F} \cdot \frac{\delta F}{\delta x_i} = \frac{\frac{\delta F}{\delta x_i}}{x_i} = \frac{\delta \ln(F)}{\delta \ln(x_i)}$$

Questo è il rapporto delle variazioni relative della funzione rispetto alla variazione relativa del parmetro.

Si può pensare come denotare del logaritmo?

Di più farò un'altra cosa: la variazione relativa della funzione rispetto alla variazione della rete, e così via!

Uscire  $S$

Si può dire che la variazione su circa uguale a: (per variazioni piccole)

$$\frac{\delta F}{F} \approx S_{x_i}^F \cdot \frac{\delta x_i}{x_i} \quad (\text{per variazioni piccole!})$$

Dato ora funzione di uscita di dipende dai componenti, si può ricavare alla definizione. C'è più un numero di uscite che può svolgere le operazioni.

$$S_{x_i}^F = \frac{\frac{\delta F}{\delta x_i}}{\frac{\delta x_i}{x_i}} = \frac{x_i}{F} \cdot \frac{\delta F}{\delta x_i}$$

Proprietà (tratta dal libro!) TABLE: 1...2...3...

Esempio di calcolo: (usa le proprietà!)

$$S_{R_{11}}^{w_p} \quad w_p = \sqrt{\frac{R_{11} + R_{12}}{R_{11} R_{12} R_L C_2 G}}$$

Per la proprietà,  $S_x = 2 S_x^f$

$$\rightarrow S_{R_{11}}^{w_p} = \frac{1}{2} S_{R_{11}}^f \frac{R_{11} + R_{12}}{R_{11} R_{12} R_L C_2 G}$$

Uscendo la sensibilità del prodotto:

$$\frac{1}{2} \cdot \left[ S_{R_{11}}^{R_{11} R_{12}} - S_{R_{11}}^{R_{11} R_{12} R_L C_2 G} \right] = \frac{1}{2} \left[ \frac{R_{11} S_{R_{11}}^{R_{12}}}{R_{11} + R_{12}} + \frac{R_{12} S_{R_{11}}^{R_{11}}}{R_{11} + R_{12}} \right] + R_L R_C R_M$$

$$- S_{R_{11}}^{R_{11}} = -\frac{1}{2} \frac{R_{12}}{R_{11} + R_{12}}$$

Il coefficiente di sensibilità è stato introdotto per spiegare la variazione della funzione con un'espressione compatta.

Data una funzione di rete da disperdere da tutti i parametri

$x_i \dots x_n$

$$V^F \triangleq \frac{df}{F} = \sum_{i=1}^n S_{x_i}^F \frac{dx_i}{x_i} = \sum V_{x_i}^F$$

Ora è la somma degli effetti dovuti a tutte le variazioni elementari dovute ai vari componenti!

$$\frac{df}{F} \triangleq V^F \approx \sum_{i=1}^n S_{x_i}^F \frac{dx_i}{x_i}$$

La nostra funzione di rete verrà:

$$F(p) = K \frac{\pi(p + \omega_r) \pi(p^2 + \frac{\omega_r^2}{q_r^2} p + \omega_h^2)}{\pi(p + \omega_p) \pi(p^2 + \frac{\omega_p^2}{q_p^2} p + \omega_{ph}^2)}$$

Data una funzione  $G(\omega)$  con due funzioni di II° grado,

$$G(\omega) = \left| \frac{s^2 + \frac{\omega_r^2}{q_r^2} s + \omega_r^2}{s^2 + \frac{\omega_p^2}{q_p^2} s + \omega_p^2} \right|_{s=j\omega} = \left| \frac{s^2 + \frac{\omega_r^2}{q_r^2} s + \omega_r^2}{s^2 + \frac{\omega_p^2}{q_p^2} s + \omega_p^2} \right|_{s=j\omega} = \frac{G_{2N}(\omega)}{G_{2D}(\omega)}$$

Quindi,

$$\frac{\Delta G}{G} = \sum_{i=1}^N S_{x_i}^G \cdot \frac{dx_i}{x_i}$$

Da  $G$  è data dai due ci, per calcolare la sensibilità, devi esprimere  $S_{x_i}^G$ , ma pensa verso la formula del prodotto e che dice:

$$S_{x_1}^G = S_{x_2}^{G_{2N}} - S_{x_2}^{G_{2D}}$$

$$S_{x_2}^{G_{2N}} = S_{\omega_2}^{G_{2N}} S_{x_2}^{w_2} + S_{q_r^2}^{G_{2N}} S_{x_2}^{q_r^2}$$

$$S_{x_2}^{G_{2D}} = S_{\omega_p}^{G_{2D}} S_{x_2}^{w_p} + S_{q_p^2}^{G_{2D}} S_{x_2}^{q_p^2}$$

$$S_{x_2}^G = [S_{x_2}^{G_{2N}} - S_{x_2}^{G_{2D}}]$$

$$\frac{\Delta G}{G} = \sum_{i=1}^N \left\{ S_{\omega_r}^{G_{2N}} S_{x_2}^{w_r} + S_{q_r^2}^{G_{2N}} S_{x_2}^{q_r^2} - \left[ S_{\omega_p}^{G_{2D}} S_{x_2}^{w_p} + S_{q_p^2}^{G_{2D}} S_{x_2}^{q_p^2} \right] \right\} \frac{dx_2}{x_2} \quad (3)$$

Allora: 3 termini: sensibilità di  $G$  rispetto ai coefficienti, sensibilità dei coefficienti ( $w_p$ ) rispetto ai componenti (2), sensibilità rispetto ai coefficienti (1) o della tensione (3)

Se la funzione ha entro molti fattori di I° o II° grado (caso qua), le formule diventano più complicate (vedi disegno di Breg)

La sensibilità della funzione rispetto ai coeff. costanti si scrive sulla funzione (Cauer, Butterworth, Oldřichov), quelli dei coeff. sui coefficienti

$\boxed{\text{DEFINIZIONE}}$

Dato alle incognite,

$$V^F = \sum V^F_i, \text{ dove } F_i(p) = \frac{p \cdot N(p)}{P(p)}$$

Nelle nostre strutture ciò che predomina sono i termini di sensibilità al modulo rispetto al  $p$ , e le altre (quelle rispetto a  $\omega$ ) si sente tanto più grandi quanto  $\omega$  è alto.

Si cerca di ridurre le variazioni rispetto alla frequenza!

Che parameteri deve per i filtri LC cercare?

Bene, il diagramma sopra è fatto in modo da aver un certo di trascuratezza nei moduli intorno (o area) in banda centrale, e negli altri ~~con~~ in realtà  $|t(j\omega)| = 1$  solo in un certo intervallo



Facciamo un diagramma con un'ampiezza  $x_1$  cui we faremo per cui  $|t(j\omega)| = 1$ ; facendo varcare il campo attorno al suo valore nominale, di sicuro non può superare il limite, quindi più al più diminuirlo! Quel punto però non può darsi!  
Dunque,  $\frac{dt}{dx_1} > 0$  (il punto per cui  $x_1$  è un massimo!)

La sensibilità del modulo rispetto a  $x_1$  è area 0! Nei punti in cui il campo di trascuratezza vale 0, la sensibilità è 0.

Fuori da quei punti, si può dire che la sensibilità rispetto, in banda centrale, alla variazione dei componenti!

$\boxed{11/12/08}$

L'ultima volta aveva parlato di sé in cascata e allora quello che è più critico è quello in cui il  $p$  dei poli più elevato.

Vorremmo cercare di fare, a punti si spieghi, la curva di trascuratezza ad  $\omega$  minore, o cercare di mantenere "freno" la frequenza dei poli! Infatti, le variazioni della linea, poli la frequenza è 20 volte (quindici al giorno), eh.

I filtri LC cercati, o curva delle loro polarizzazioni, hanno sensibilità diversa. Allora poi fatto altro un diagramma dove si fa vedere il passo centrale fatto con tutti i  $L$ ,  $C$ , resistenze, ecc.

Indice di sensibilità (multiparametrica):

$$\frac{\Delta F}{F} \approx \sum S_x^F \frac{\Delta x_i}{x_i}$$

Quello che si cerca di fare è partire dalla seguente ipotesi: una gradiente  $\rightarrow$  più sopra esprimere come sono delle sensibilità

rispettivo ai vari parametri, per le variazioni relative dei componenti.

Il modulo di questo variazione si dice  $\frac{\Delta F}{F}$  e deve ~~sempre~~ essere mantenuta minore di un  $\epsilon_i$ ,

$$\left| \frac{\Delta x_1}{x_1} \right| < \epsilon_i, \text{ e } \left| \frac{\Delta F}{F} \right| \leq \sum \left| S_{x_i}^F \right| / \epsilon_i \text{ (worst case)}$$

$$\epsilon_1 = \epsilon_2 = \dots = \epsilon_n = \epsilon$$

Allora la sensibilità multiparametrica di cui parlo è:

$$\left| \frac{\Delta F}{F} \right| \leq \epsilon \sum \left| S_{x_i}^F \right| = \epsilon W^F$$

↑ sens. multi-parametrica  
di cui parlo: si sommano tutti i  $\epsilon$ .

Questa è una idea molto pessimistica.

Si considera una sensibilità multivariante "statisitica":  $\frac{\Delta S}{S}$ ,  
 $S_F$  sono variabili aleatorie con un parso disp, valori netti  
e vennero.

In ipotesi che le variazioni non statisticamente indipendenti,  
che  $\Delta S/F$  ha uguale celerità e valori netti nulli, con una  
varianza pari a:

$$\sigma_{\Delta S/F}^2 = \sum |S_{xi}^F|^2 \sigma_i^2 \quad \text{COPPIAMENTO}$$

$$\sigma_1^2 + \sigma_2^2 + \dots + \sigma_n^2 = \sigma^2$$

$$\sigma_{\Delta S/F}^2 = \sigma^2 \sum |S_{xi}^F|^2 = \sigma^2 C_F^2 \quad \text{sensibilità multivariante}$$

STATISTICA! è più sensibile! Più redditizia!

Prodotto guadagno-sensibilità

$$\frac{\Delta F}{F} = \sum S_{Ri}^F \frac{\Delta R_i}{R_i} + \sum S_j^2 \frac{\Delta j}{j} + S_A^F \frac{\Delta A}{A}$$

Si può dimostrare che se noi perdiamo la sensibilità  $\Rightarrow$  la celerità di riferimento con spazio infinito,  $S_A^F \rightarrow 0$ !

Per calcolare con un operatore, nel quale si supponga ideale, si calcola  $A S_A^F$ , e si passa  $A \rightarrow \infty$

ESEMPIO A RACCOLTA BREW p 128

Vogliendo diminuire la sensibilità di un amplificatore rispetto a una certa quantità, bisogna che in effetti il prodotto guadago-sensibilità:

$$w_p \left[ -\frac{1}{2_{pp}} + j \sqrt{1 - \frac{1}{4_{pp}}} \right]$$

NON DIPENDONO DA  $w_p$ !

Criteri di confronto

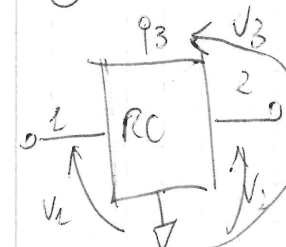
1) La frequenza deve essere superiore del tipo  $\frac{1}{R_2 R_3 G_A} = w_p^2$

~~2)~~ Questa deve essere minore o eguale di 0,5

Generazione e classificazione delle linieralità con un solo OA  
 Sono le preferite poiché sotto al punto di vista del consumo!

Con le reti RC non possono ottenere gli ~~semplici~~ complessi controlli;  
 possono allocare una reazione sulla v<sub>o</sub> in modo da realizzare  
 Due tipi di celle: • reazione positiva, statika (celle enhanced  
 positive feedback); • reazione negativa (verselli sonabili)

Consideriamo la configurazione a reazione positiva (vogliamo capire come  
 costituire una CELLA!)



$$V_2 = t_{12} V_1 + t_{32} V_3$$

$$\rightarrow t_{12}(p) = \frac{V_2}{V_1} \Big|_{V_3=0} \cdot \frac{m_{22}(p)}{d(p)} \quad \text{d(p) coeff. moltiplicativo}$$

Dim posso calcolare il coeff. di trasmissione:

$$t_{32} = \frac{V_2}{V_3} \Big|_{V_1=0} \cdot \frac{m_{22}(p)}{d(p)}$$

$$\mu = 1 + \frac{R_2}{R_1}$$

$$V_{11} = V_3 = V_2 \cdot \mu ;$$

$$\bullet V_{11} = \mu \cdot (t_{12} V_1 + t_{32} V_3) = V_3$$

$$V_3(1 - \mu t_{32}) = \mu t_{12} \cdot V_1$$

$$\frac{V_3}{V_1} = \frac{\mu t_{12}}{1 - \mu t_{32}} = \frac{\mu m_{22}(p)}{d(p) - \mu m_{22}(p)}$$

$$f(p) = p^2 + \frac{\bar{\omega}_2^2}{q_2} p + \bar{\omega}_2^2$$

qL0,5; le zeri stanno sull'asse reale negativo!

$m_{32}$  deve avere un'espansione tale da non avere wp con f.  
la frequenza del polo deve essere legata alla zeta vlo f. la  
unica possibilità è avere  $\zeta_2$  di questa forma:

$$\zeta_2 = H \cdot \frac{P \left( \frac{\bar{\omega}_2}{q_2} \right)}{P^2 + \frac{\bar{\omega}_2^2}{q_2} p + \bar{\omega}_2^2} \rightarrow \text{sono IL TORNINI DI PRIMO GRADO}$$

Questa è una funzione perpendolare per poter realizzare una  
funzione a reazione di II° grado con poli sul complesso piano  
~~esistente~~, bisogna avere una funzione perpendolare.

IL RISULTATO È:

$$\begin{cases} w_p = \frac{\bar{\omega}_2}{q_2} \\ q_p = \frac{1}{1 - \mu H} \end{cases}$$

MHL per STABILITÀ!

Per quanto riguarda lo zerro, invece amplifichiamo maggiormente  
di 1/2 di uno o di un cedilo ma se ne solle  
il volto.

Se più il minimo, ok, se ancora, però ammesso a parere,

11/12/08 Teoria e Ese.

Retti non lineari

Testo principale: "Strogatz" Nonlinear dynamics and chaos

Quali sono i fenomeni che si possono osservare nei sistemi  
non lineari?

Esistono 3 fenomeni non lineari come un fenomeno particolare: se il circuito  
lineare è instabile, funziona e cresce con a infinito per  $t \rightarrow \infty$ .  
Un esempio.

- Nei circuiti non lineari, non capiamo da dove viene la funzione  
valori infiniti in tempi finiti.

- Può capitare che il sistema allia più di un punto di equilibrio,  
o anche nessuno. ~~per sempre~~ Il fatto che il sistema funzioni  
in un punto piuttosto di un altro, dipende ~~dalle~~ dalla condizione  
iniziale, ad esempio la curva che gira nel circuito.

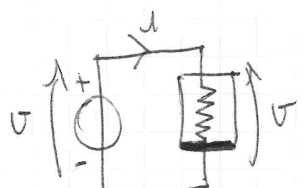
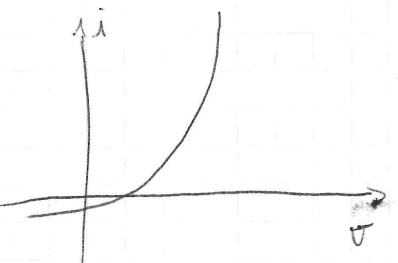
- I sistemi non lineari possono avere fenomeni periodici, detti  
"gli limiti". In un sistema lineare si possono avere soluzioni  
periodiche non instabili, se i poli stanno sull'asse  $\zeta = 0$ . ( $\zeta = 0$  è  
(soluzione non instabile). Nei sistemi lineari questa soluzione è molto  
instabile: il polo può essere facilmente ~~è~~ spostato, ad esempio  
dalla temperatura, ~~per~~ poi essere instabile (se caldo o se) o  
stabilità (a dx). Essendo sistemi non lineari hanno stabilità,  
con frequenze ben definite, ed un po' qualche simmetria ecc., e poi  
SENZA DIPENDENZA dalle condizioni iniziali, cosa che non accade negli  
equivalenti sui sistemi lineari. Dopo un transitorio iniziale, il  
sistema evolverà fino a raggiungere una condizione di equilibrio: il polo  
limite.

- (antimultpl)
- Il sistema può produrre soluzioni instabili, o modi di funzionamento detti "quasi periodici", in quanto generati da una somma di sinusoidi con frequenze non multipli tra loro!
  - Comportamento caotico: <sup>Per es.</sup> considerando nel tempo che non perbene a periodici, o equilibri: il sistema continua ad avere ampiezze limitate, ma l'evoluzione è simile alle soluzioni instabili. Portando da due condizioni iniziali vicine, dopo un certo tempo gli andamenti dell'onda ~~vanno~~ <sup>si</sup> si complementano in modo del tutto diverso ~~e~~ <sup>per</sup> CAOS DETERMINISTICO: le soluzioni sono deterministiche ma, con piccole variazioni iniziali, differenze nelle condizioni iniziali, l'onda del sistema è completamente differente, dopo un certo tempo!
  - Il più semplice esempio in grado di fare fenomeni caotici è di grado 3 (vedremo il caso di Chua).
  - Diversi modi di funzionamento del sistema: il caos può avere un ciclo limite, piuttosto che un punto di funzionamento, piuttosto che altro. L'altro caso  $\rightarrow$  soluzioni instabili.

Sul livello questa molteplicità è inversamente proporzionale al grado di non linearità.

Esempio: come il sistema può produrre caos?

Un caos non lineare si disegna così:



$v(t)$  è sinusoidale;  $i(t)$  è l'andamento tensione/corrente. Si vede che, considerando la non-linearietà della relazione tensione/corrente e il passare del tempo " $t$ ", fa ottenere non più una sinusode ma qualcosa di diverso. Si sarebbe generato dunque un modo di grado superiore.

$\bar{v}$  un sistema che introduce distorsione di armoniche.

### Esercitazione

0) Parte di approssimazione: si ricavano le formule di andini, e quindi si vede che  $C_3=1$ ,  $C_2=12$  e con si allarga il pedale guadagno-sensibilità ( $K$ ).

1) Calcolare il grado del filtro: si prende il più slanciato, quindi:

$$\omega = 2000 \quad ; \quad 6600$$

$$w_0 = \sqrt{w_0^2 - 20 \text{ kHz}}$$

$$f_0 = \sqrt{3000 \cdot 3400} = 3183,744 \text{ Hz} \quad Q_0 = \frac{f_0}{B} = 7,985$$

$$\sqrt{N} = Q_0 \cdot \left| \frac{\omega}{w_0} - \frac{w_0}{\omega} \right| < 7,985 \cdot \left( \frac{2000}{3184} - \frac{3184}{2000} \right) = -7,752$$

$$= 5,204$$

$$\epsilon = \sqrt{10^{26.23} - 1} = 0,258$$

$$n = \frac{dm - 20 \log \epsilon}{20 \log (R_s)} = 2,92$$

Si estraggono i valori dal manuale; viene fuori:

$$\frac{V_o}{V_s} = T(s) = \frac{1}{C} \cdot \frac{1}{s + 1,570417}$$

12/01/2018

Componenti rettificatrici non lineari

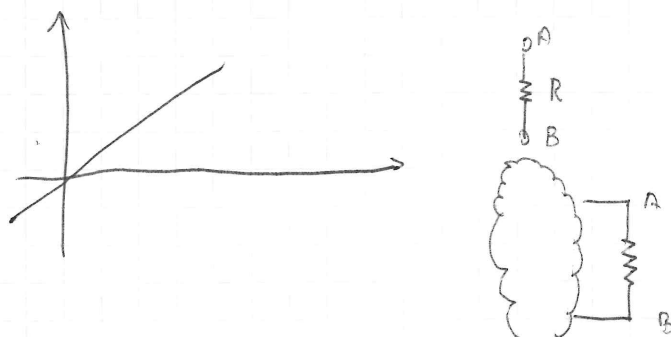
Resistore: sebbene la legge classe:

$$R_R = \{ (v, i) : f(v, i) = \phi \}$$

Si dice lineare se:

$$f(v, i) = v - R_i \quad ; \quad f(v, i) \propto v - R_i$$

Esse da questi due casi il resistore è non lineare



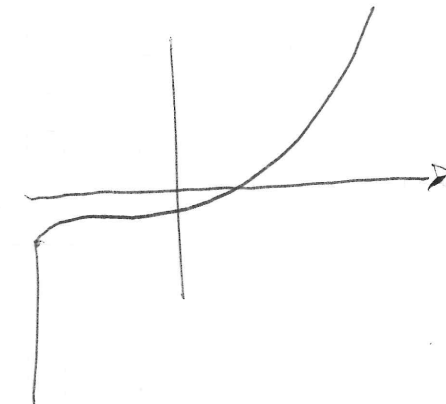
Bilaterale: indifferente al verso (positivo o negativo).

Esempio di resistore non lineare

$$\text{Diode} \quad \text{DALLI} \quad R_{D0} = \{ B(v, i) : \dots \}$$

Così da scrivere è che il diodo ideal è utile per costruire altro caratteristico. Nel nostro caso, si usa per costruire caratteristiche di rettificatori lineari + tratti.

Diodi a giunzione P-n :



Equazione:

$$R_{D0} = \{ (v, i) : i = I_s \left( e^{\frac{v}{n}} - 1 \right) \}$$

Questo è un modello base ma in SPICE non ha la discontinuità del diodo ideale. Non Spice ordina questi redi.

Resistore controllato in tensione: questa resistenza (diodo) è controllata in tensione.

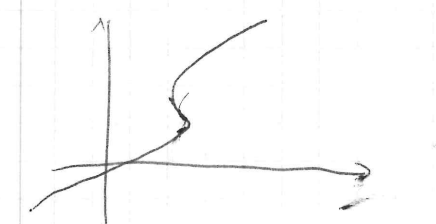
Diode tunnel:



c'è un tratto in cui il prodotto  $v \cdot i$  è positivo. In questo tratto, il diodo "fornisce da generatore"; il ~~sistema~~ sistema è "localmente attivo" in quel tratto di caratteristica.  $v \cdot i > 0$

In parole di sistemi globalmente passivi sì.  $\forall v, i$ ,  $v \cdot i > 0$

Tubo a scarica a bagno



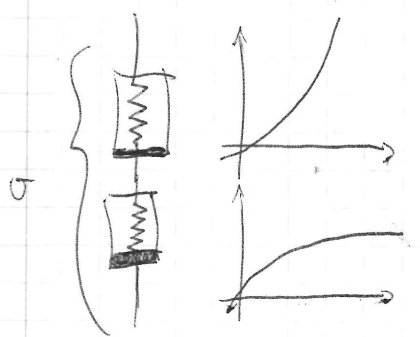
Resistore controllato in corrente, non controllato in tensione.

Diodo zener

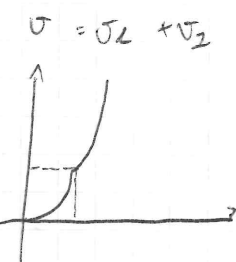


Generatore di tensione

Lavorando il diodo: caratteristica idro



Da carattere si ottiene seconda caratteristica:



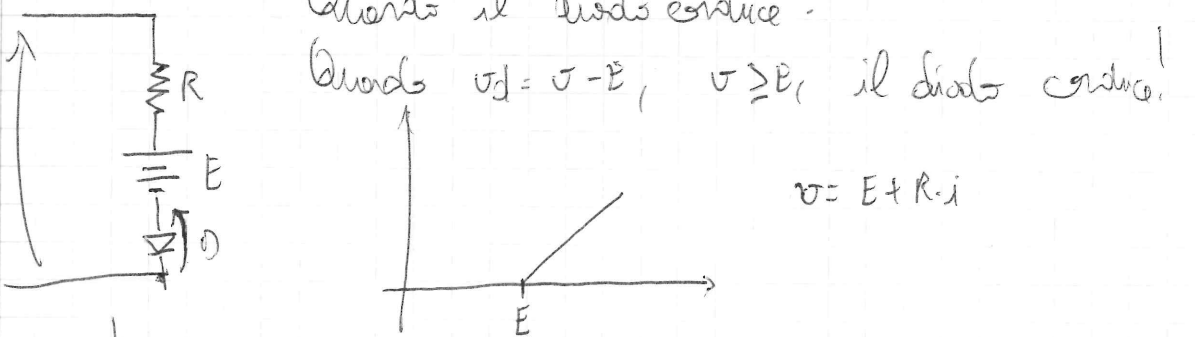
Questo, con due resistori controllati in cascata! Ci sono due resistori controllati con due correnti diverse e fatti.

Altro esempio: resistore lineare e dispositivo controllato in tensione.

- Senza di un diodo o un resistore lineare
- Collegamento parallelo

Scrivere resistore (resistore concavo)

Quando il diodo conduce?



Quando  $V_d = V - E$ ,  $V \geq E$ , il diodo conduce!

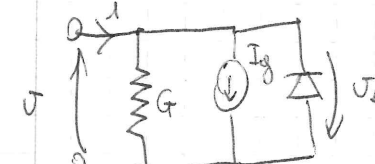
$$V = E + R \cdot i$$

Formula in forma chiusa

$$\rightarrow i = \frac{G}{2} [ |V-E| + (V+E) ] \quad V > E \rightarrow \frac{G}{2}(2V-2E) = V-E$$

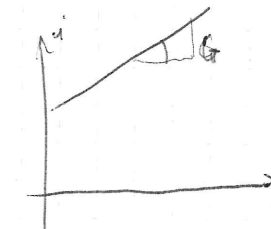
$$V \leq E \rightarrow 0.$$

Altro elemento: Resistore Convesso

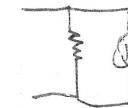


$$V_d = -V$$

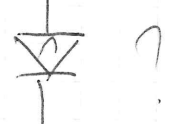
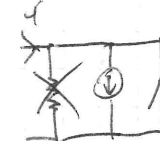
Per  $V > 0$ ,  $V_d < 0$ , e il diodo non conduce



$$i = G \cdot V + I_g$$



E  $V=0$ , il diodo conduce:

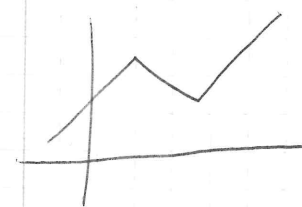


nella resistenza non va più corrente, perché non c'è l'area di non corri:

Capi:

$$i = I_g - i_0 \rightarrow i_0 = I_g - i$$

Come è possibile realizzare caratteristiche lineari a tratti?



Questa curva è utile in quanto ad esempio approssima la caratteristica del diodo tunnel con questo operatore.

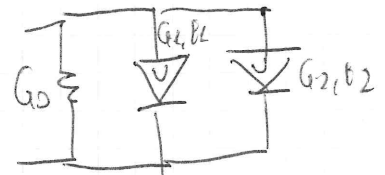
Con la caratteristica si riesce ad ottenere quattro di punti di linea.

Vogliamo ottenere ciò:

$$\begin{cases} V \leq E_1 \rightarrow G = G_A \\ E_1 \leq V \leq E_2 \rightarrow G = G_B \\ V \geq E_2 \rightarrow G = G_C \end{cases}$$

Come faremo? Primo, resistore ~~converso~~, poi, uscita inversa  
(a perdita negativa), poi ~~converso~~ inverso.

I due resistori convergenti



Si impone che le pendenze siano quelle desiderate. Per far così,

$$\left. \begin{array}{l} 1) G_0 = G_L \\ 2) G_0 + G_1 = G_B \\ 3) G_0 + G_1 + G_2 = G_C \end{array} \right\} \quad \left. \begin{array}{l} G_B = G_A + G_1 \\ G_C = G_A + G_1 + G_2 \\ \downarrow \\ G_1 = -G_A + G_C \\ G_2 = -G_B + G_C \end{array} \right.$$

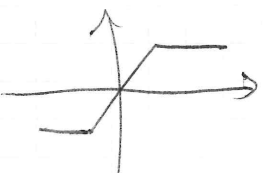
IS | 12 | 58

Averemo detto che c'è il uscita inversa.

Come si fa la perdita negativa? Con il FDNR!

GIC

Si può fare un modello dell'amplificatore come dispositivo lineare  
a tre punti, con un SPICE



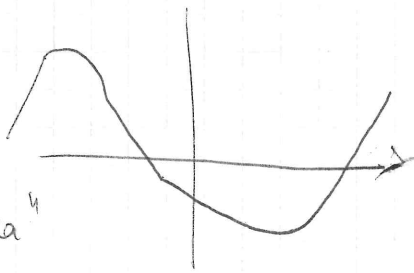
Amplificando una tensione infinita si ha:

$$\left. \begin{array}{l} i=0 \\ i_{+}=0 \\ V_{+}-V_{-}=0 \end{array} \right.$$

Si può trattare come una batteria a seconda del verso!

Dovendo realizzare il circuito di Chua.

Ci dovrebbero sull'elemento non lineare:

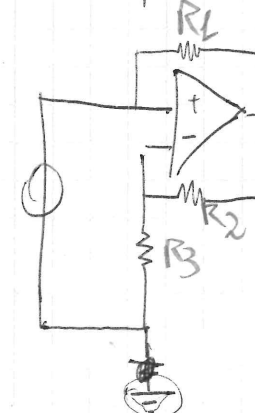


Il diodo viene chiamato "diodo di Chua"  
perché viene spesso usato nel circuito.

Dobbiamo capire come realizzare i tretti a perdita negativa,  
ci sono i circuiti equivalenti!

L'idea è prendere e usare un resistore PWL

Rispetto parso PWL:



Supponendo che il circuito sia in zona  
lineare, si ha che:

$$i = \frac{V - V_u}{R_L}$$

$$i_3 = \frac{V}{R_3} \quad V_u = (R_2 R_3) i_3 = \frac{R_2 + R_3}{R_3} V$$

$$i = -\frac{R_2}{R_2 + R_3} V$$

$$R_{eq} = \frac{V_0}{i} = -\frac{R_2 R_3}{R_2 + R_3} \quad \text{NEUTRALE}$$

Sono che un po' più facile della linea di riferimento in modo  
che l'amplificatore non needed in saturazione!

Regime di saturazione:

$$i = \frac{V - E_S}{R_L}$$

Nella regime ~~tra~~ tra i Bp il resistore ha resistenza infinita!  
Nel circuito cari, poniamo.

Qui sono le formule di design per questi dispositivi:

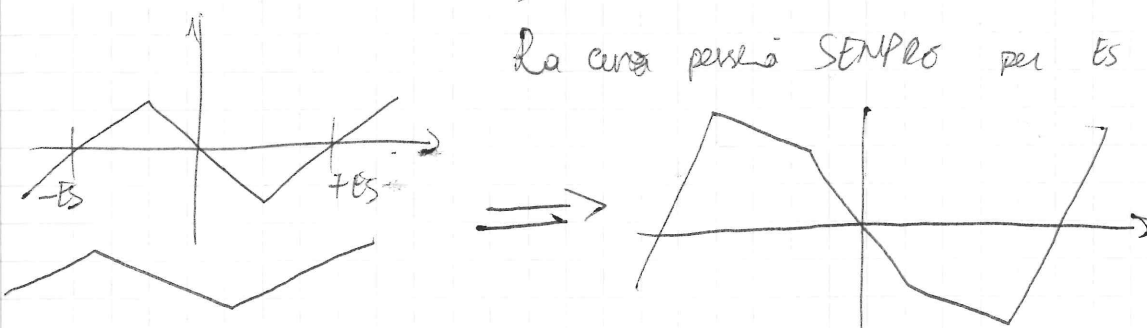
$$R_C = \frac{1}{G_B}$$

$$R_3 = -\frac{1}{G_A}$$

$$G_A = -\frac{R_2}{R_1 R_3} \quad G_B = \frac{1}{R_1} \quad B_P = \frac{1}{1 + \frac{R_2}{R_3}} \quad \beta_S = \frac{R_3}{R_2 + R_3} \quad E_S$$

Diode di Chua

Dei due elementi non lineari in parallelo la caratteristica si ottiene sommando le caratteristiche!



Si ha una componente di spostate, si sommano le perdite, e belli!

$$G_A = G_{A1} + G_{A2} - G_E$$

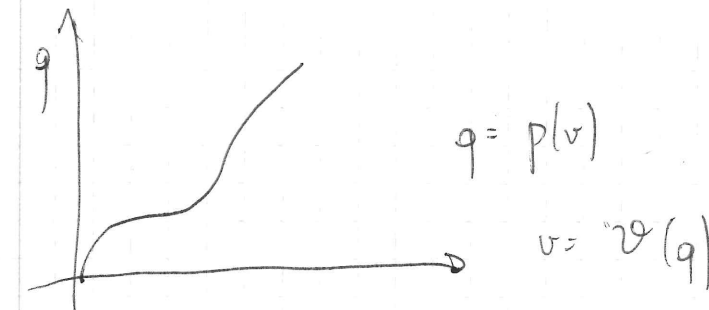
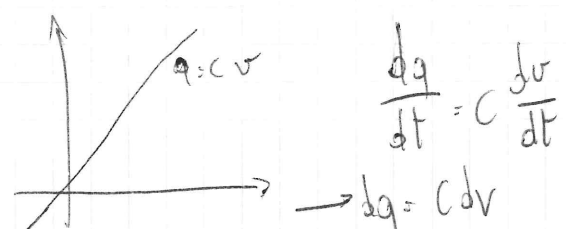
$$G_B = G_{B1} G_{B2}$$

$$B_{P2} = \frac{E_S}{1 + \frac{G_{A2}}{G_{B2}}}$$

Formule di design

Elementi con memoria  
condensatore luminoso

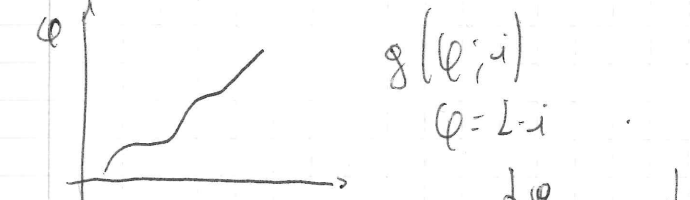
$$f(q; v) = 0$$



$$\frac{dq}{dt} = \frac{dq}{dv} \cdot \frac{dv}{dt} = C(v) \frac{dv}{dt}$$

comportamento differenziale!

Induttore



$$i = \frac{d\varphi}{dt} = L \frac{di}{dt}$$

INDUTTANZA DIFFERENZIALE

Questi sono elementi con memoria o "periferici", non centrali!

Memistor:

attualmente, oltre definito condensatore, flusso, corrente, tensione.

Ogni dei componenti stabilisce un legame fra le due delle quattro.

Quello che manca è un elemento che leggi flusso e corrente.

Chua ha ipotizzato l'esistenza di un componente che leggi in due a un dq. Si era riusciti a ottenere qualcosa, ma non "buon", non "esatto": derivato da altri componenti!

La HP quest'anno ha colpito un componente che si comporta nel modo pensato da Chua del momento che non è lavorato a scalo monometrico!

18/12/08 Terni

Herristor

Averiamo detto che il membristore relazione  $q$  e  $\phi$ .

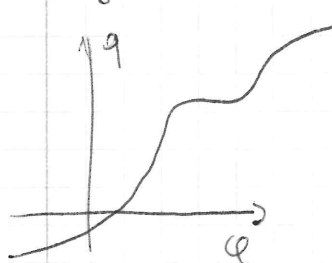
Il legge in questione è:

$$d\phi = M(q) dq$$

Sono  $M$  è la grandezza in questione!

E ha sempre il legge tra flusso e corrente!

Da definizione deve data da Ohm  $\frac{v}{i}$  una relazione implicita di legge:



Questo è un dispositivo controllato in flusso.

Si può solo controllare in corrente!

Stato 0

Si ha che:

$$v = \frac{d\phi}{dt} \quad v dt = d\phi$$

$$\rightarrow \phi(t) = \int_{-\infty}^t v(\tau) d\tau \quad \text{questo è il flusso!}$$

Vedendo bene

$$\phi = f(q)$$

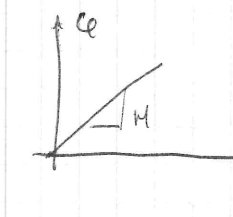
$$d\phi = M(q) dq \quad \leftrightarrow \quad M(q) = \frac{df}{dq}$$

$$\rightarrow q(t_0) = \int_{-\infty}^{t_0} i(\tau) d\tau$$

Quindi, la corrente dipende dalla corrente. Se è fluita nel buco!

Ri giri, Henry resistenza!

Se è il membristore lineare?



Se la  $M$  è costante l'equazione di perturbazione

dovuta quella di un resistore!

Il membristore lineare non ha senso perché è un resistore!

Ohm ha fatto un circuito incasinato per farlo.

Esiste una generica espressione:

$$\bullet \left\{ \begin{array}{l} v = R(\xi) \cdot i \\ \end{array} \right.$$

$$\left( \frac{d\xi}{dt} = f(\xi; t) \right)$$

$\xi$  è una variabile che indica lo stato del sistema.

Si avrà  $v = 0$  quando l'input è 0.

Si vorrà dimostrare le seguenti proprietà:

1) Il sistema è ~~stazionario~~ passivo

2) Non dissipativo

3) Con un colpo, si ha una risposta di transizion.

$\Sigma$  ricercati sulla HP, guardando queste cose di cosa ~~significa~~ l'effetto desiderato è la capacità di catturare numero a denaro più che di quelle della borsa o corrente.

"Intengono" il dispositivo con una piccola borsa n' più come se ci si trovi al livello alto o basso!

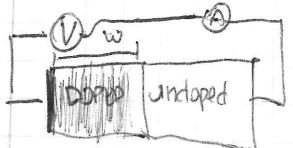
Cosa funziona il dispositivo ~~del~~ della HP?

L'idea è usare un'architettura "griglia", "cavali": applicando una tensione su ciascuno dei ~~interruttori~~ tra cui c'è uno switch, essa un dispositivo in grado di ormare due valori di tensione.

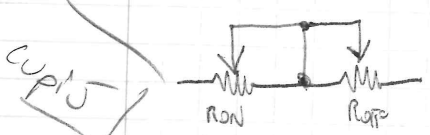
ci sono come "bolla" di carica, che si muovono, sotto effetto del campo esterno. ("bolla": assenza di orzogno).

Una volta solto, bolla l'area della tenuta esterna, le cariche si non si muovono più.

Modello del dispositivo



$$v(t) = \left( R_{on} \frac{w(t)}{D} + R_{off} \left( 1 - \frac{w(t)}{D} \right) \right) i(t)$$



$$w = -\mu |E|$$

↑ mobilità!

$$\frac{dw(t)}{dt} = \mu v \frac{R_{on}}{D} i(t) \quad i = \frac{dq(t)}{dt}$$

Facciamo qualche percorso:

$$\rightarrow dw = \mu v \frac{R_{on}}{D} dq$$

$$\rightarrow w(t) = \mu v R_{on} \frac{q(t)}{D}$$

$w(t)$ : se neva sulla grida che se neva lo stato conduttore dello stato non conduttore.

$$v(t) = \left( R_{on} \mu v \frac{R_{on}}{D^2} \cdot q + R_{off} \left( 1 - \mu v \frac{R_{on}}{D^2} q \right) \right) i$$

$$\rightarrow v(t) = R_{off} \left[ \mu v \frac{R_{on}^2}{R_{off}} \cdot \frac{1}{D^2} q + \left( 1 - \frac{\mu v R_{on}}{D^2} q \right) \right] i$$

Se  $R_{on} \ll R_{off}$ , il perco tenuta è trascurabile!

$\Rightarrow$  si arriva all'equazione:

$$R(q) = R_{off} M(q) = R_{off} \left( 1 - \frac{\mu v R_{on}}{D^2} q \right) i$$

Si ha una relazione tra tenuta e corrente, mediante un parametruo ha la dipendenza dalla curva  $q(t)$ .

Questo numero diviso ulteriormente per il perco allo stesso momento, se  $D$  è già solo dell'ordine di  $\mu m$  tutto ciò è insensibile!

Poi c'è la simbologia! 11.

Sia così bolla è lo bolla ciò pensano, anche grande vero collegata la tenuta di alzavolte!

Argomento nuovo:

Abbiamo finora i componenti sotto mano; questi vogliono anche circuiti non lineari, ma stiamo già per fare al simbolo le cose. Come funca SPICE? Come fa a trattare i circuiti non lineari? Vediamo.

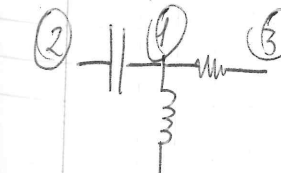
Altra strategia è studiare il comportamento qualitativo: esistono caratteristiche "peculiar".

MNA: Modified Node Analysis

Stessa segnala Ad Space: mettete dei nodi con qualche varianza!

Li si parla a equazioni integrai, algebrici, differenziali. L'idea è prendere dei componenti critici (sono conduttori), che dobb

ben le variazioni dei nodi i  $v_1$  e da ciò:



$$(v_{n1} - v_{n3})/C + C \frac{dv_2}{dt} (v_2 - v_3) + i_{E2}$$

Si perde come inizia la corrente nell'induttore!

Si aumenta il numero di iniziante quindi i due aggiunge al resto  
anche l'equazione dell'induttore!

$$U_{NL} = L \frac{di_L}{dt}$$

Così non ci va niente resistente o a zero solo eq. differenziali!

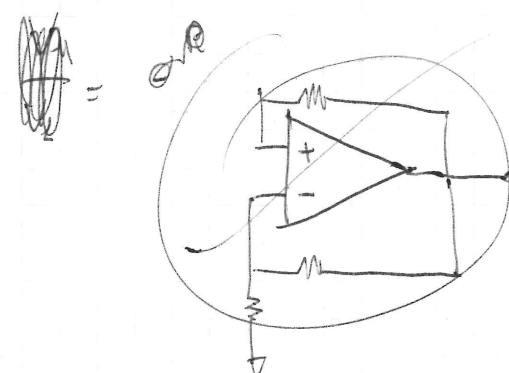
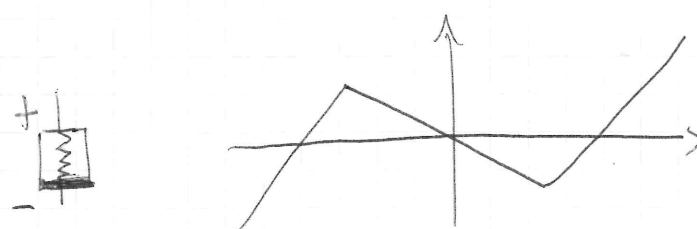
E nel caso lineare? Non si usano solo le equazioni tra se non  
si usano come espressioni esponenziali le corde e i flussi!

Esempio! da internet!

Esercitazione

1) Si cerchi di "ottenere il risultato di figura"

Che strategia si deve usare?

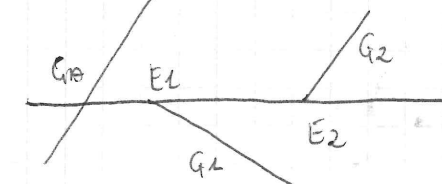


Il punto da portare è mettere ormai la caratteristica sommando  
i vari componenti:

$$i = \frac{Q}{2} [V_B - f(V_E)]$$

EXAMPLE FOR  
CONCAVE RESISTOR!

Ad esempio quindi, per ottenere l'andamento indicato, si può usare  
un resistore lineare che pone per in certo punto, no che sono,  
e in altro lo zlo: SERIE DI 3 ELEMENTI!



Qualeza di questo gressi: la somma di questo tre caratteristiche  
che saranno <sup>una</sup> resistenza minima e una concavità

$$\begin{cases} G_A & \text{O } E_1 \\ G_B & \text{E } E_1 \text{ O } E_2 \\ G_C & \text{O } E_2 \end{cases}$$

$$\begin{aligned} G_C &= G_A - G_B \\ G_C &= G_B + G_C \end{aligned}$$

Dovendo essere tre caratteristiche: prendi in similitudine la formula  
 $i(v)$ , ovvero 3 caratteristiche:

$$i = i_0 + i_C + i_2$$

Prendono una volta che poni per quel punto,  $P_{ij}$

Quindi lo prende  $G_A$ :

$$i_0 = G_A (V_E - E_1) + G_B E_1$$

Si sape l'equazione della volta che va nel punto!

Poi si ha una perdita iniziale: somando le altre perdite lo zlo,  
si deve avere lo  $G_B$ !

No spiezi si in  $E_2$  + prima con cui perdere  $G_C$  da calcolare.

Bene, si ha una tensione ora, in  $E_2$ , basta che ponesse  $G_A$  (final).

$$G_A + G_L = G_B$$

$$G_A + G_L + G_2 = G_C$$

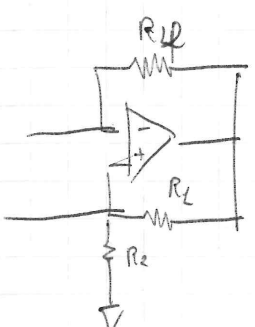
$$\rightarrow G_1 = G_B - G_A$$

$$G_2 = G_C - G_B$$

Nella fine delle pagine di calcoli si ha:

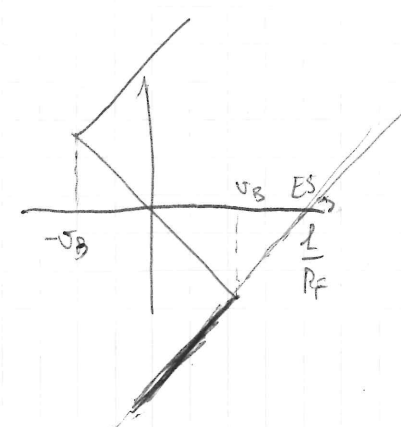
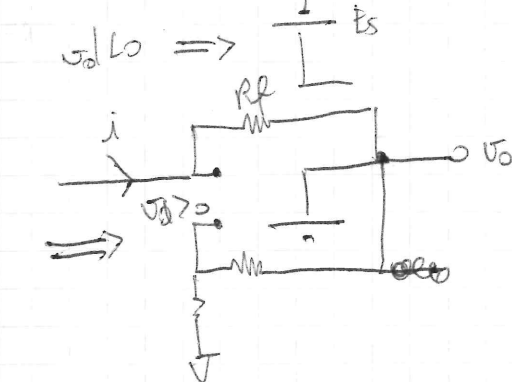
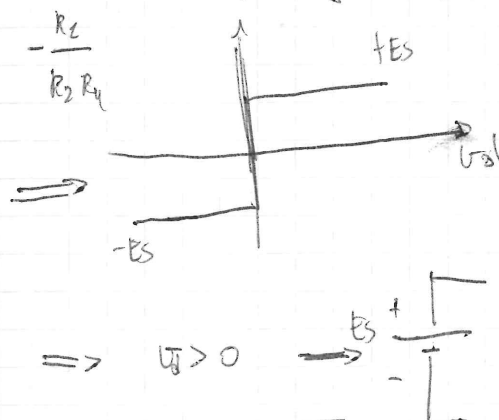
$$i = G_A v + \frac{t}{2} (G_B - G_A) (|v+t| - |v-t|)$$

ES 3



Vogliamo vedere come farà la caratteristica.

da consultare maghi su reletti:



Vogliamo stabilire un legame tra  $i$  e  $v_O$ :

~~DC-NL~~

$$i = \frac{v - E_S}{R_f}$$

Dove zero c'è? Quello sopra o quello sotto?

Sia  $v_O > 0$  per ipotesi:

$$V_f = E_S \frac{R_2}{R_2 + R_L} L E_S$$

La tensione è più piccola di  $E_S$ .

$$E_S \cdot \frac{R_2}{R_2 + R_L} = E_B$$

Se sono verso più piccolo, il zero è in basso.

Si vede al di là cambierà ~~l'ipotesi~~  $v_O$

Cambierà la polarità dell'amp op, si ha una caratteristica del tutto diversa!

10 | 12 | 98

Belli l'obiettivo era: dati i nostri circuiti non lineari, si vuole vedere come si comportano. Un "modo" è SPICE, do "dai" le equazioni e lo integro:-)

La strategia è usare un sistema di eq. differenziali, si prende un intervallo di tempo, e lo divide in tanti "time step"; con dei metodi numerici si troverà il valore di eq. soluzioni in eq. algebriche solo!

Un modo è sviluppare mediante rapporto incrementale ed espon.

$$\dot{x}(t_{n+1}) = \frac{x(t_{n+1}) - x(t_n)}{h}$$

$$\rightarrow x(t_{n+1}) = x(t_n) + h$$

Si trova un'equazione per l'eq. di conservazione del conservatore.

Un legge di tipo "verso", ha tempo e corrente!

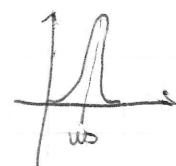
Sai sostituire, tranne il conservatore come un generatore virtuale  
in cui la corrente esistente non è legata alla tensione  
dalle relazioni ricavate da Faraday! :-)

Ad ogni step, il circuito contiene un circuito resistivo!

Idem per i due interamenti ci sono generatori ~~esistenti~~  
dei conservatori presenti, si tratta questo stesso sempre!

Gli stessi dipendono dalla formula da sostituire. Si sente, se salta  
l'ultimo step! L'algoritmo sfiora l'errore!

Se mi sento con Q stretto, contro fare un'analisi per l'ultimo step  
dove c'è un "moneta i più"



Andando di poco distanti da us,

si sbaglia di nuovo!

• Verificati lo stato

Per verificare lo stato intendiamo un insieme di variabili,

$$\text{Un insieme di variabili, } \begin{cases} x_1(t) \\ x_2(t) \\ \vdots \\ x_n(t) \end{cases}$$

Sai avere avuto come "variabili di stato" se:

1) La conservazione del loro valore all'istante iniziale,  $t_0$ ,  $x_1(t_0), x_2(t_0)$ .

2) ha conoscenza dei valori dei generatori (Se posso anche non esserci!)  
per  $t \geq t_0$

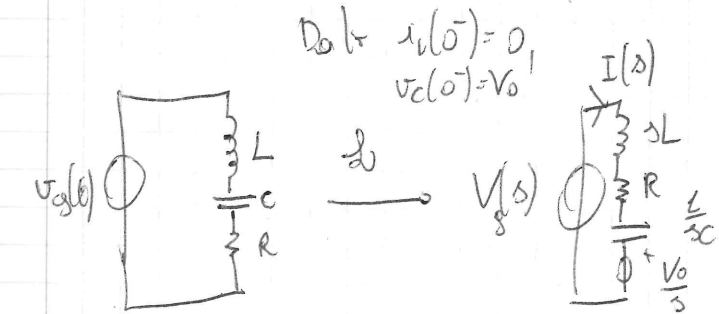
Possette di conoscere  $x_1(t), x_2(t), \dots, x_m(t)$ , per  $t > t_0$ ,  
ma permette di conoscere l'evoluzione temporale, al cuore di t!

Consente l'insieme di variabili, all'istante  $t_0$ , per poter  
dell'evoluzione del sistema da  $t_0$  in avanti!

In circuiti lineari, quindi sì lo circuiti di stato?

Caso di circuiti lineari tempo-invarianti

Dato ed esigo il seguente circuito:



$$I(s) = \frac{V_s(s) - \frac{V_0}{3}}{sL + R + \frac{1}{sC}}$$

$$Y_n \begin{bmatrix} v_{11} \\ \vdots \\ v_{nn} \end{bmatrix} = \underline{I_0} + \underline{V(s)} \begin{bmatrix} v_{11} \\ \vdots \\ v_{nn} \end{bmatrix}$$

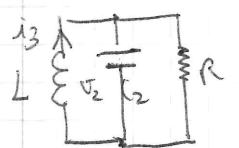
generatori costantemente  
di corrente iniziali!

Vedendo scrivo il sistema differenziale di equazioni di stato in modo  
ottenere una forma:

$$\dot{x} = A \cdot x + B \cdot u(t) \rightarrow \text{generatori$$

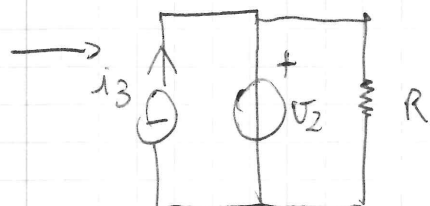
Esempio

Scevo le eq. di stato per il seguente circuito:



$$\left. \begin{aligned} U_L &= L \frac{di_3}{dt} \\ i_C &= C \frac{dU_2}{dt} \end{aligned} \right\} \Rightarrow \begin{aligned} &\text{Sostituiro in induzione con un generatore di corrente} \\ &\text{e calcolare il tempo di risposta.} \\ &\text{Idem sostituire il C con un generatore di tensione} \\ &\text{e calcolare la corrente.} \end{aligned}$$

Variabili di stato sono  $i_3$  e  $U_2$ .



$$U_3 = U_2 \quad (\text{si vede});$$

Da qua:

$$1) L \frac{di_3}{dt} = U_2$$

$$2) i_2 = i_3 - \frac{U_2}{R}$$

$$\rightarrow i_2 = C \frac{dU_2}{dt}$$

$$\Rightarrow 2) \frac{dU_2}{dt} = i_3 - \frac{U_2}{R}$$

$$\left\{ \begin{aligned} 1) L \frac{di_3}{dt} &= U_2 \\ 2) C \frac{dU_2}{dt} &= i_3 - \frac{U_2}{R} \end{aligned} \right.$$

$$\rightarrow \begin{bmatrix} i_3 \\ U_2 \end{bmatrix} = \begin{bmatrix} 0 & \frac{L}{C} \\ \frac{1}{C} & -\frac{1}{RC} \end{bmatrix} \begin{bmatrix} i_3 \\ U_2 \end{bmatrix}$$

E nei circuiti non lineari?